

บทที่ 5

ผลการศึกษาการกระจายความเค้นจากแนวจำลอง

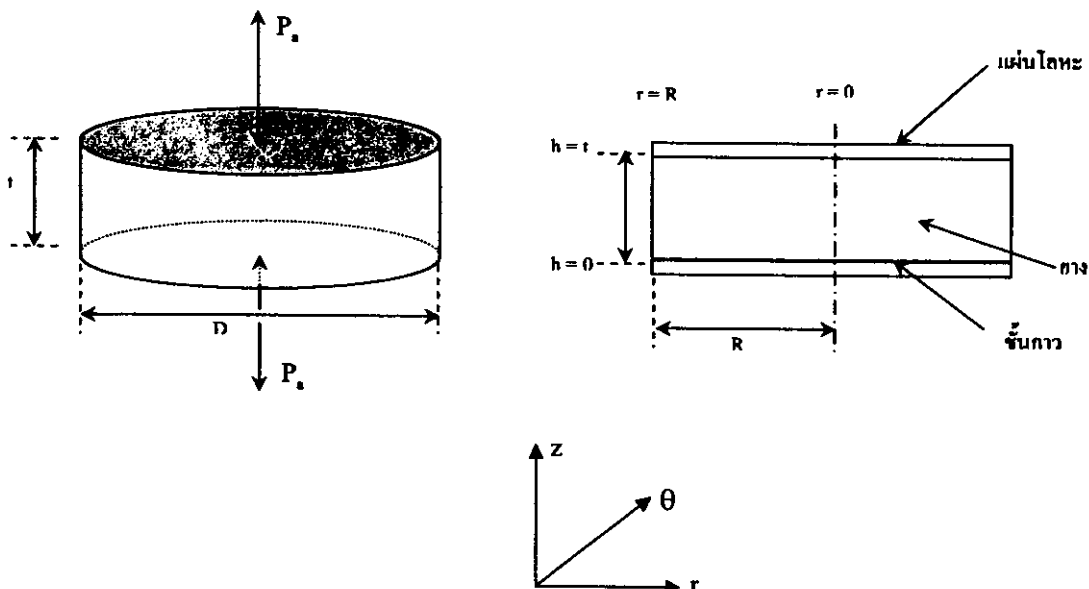
ในการศึกษาผลกระบวนการของขั้นการนำงค์ของการกระจายความเค้นในเนื้อหางของรั้นงานแบบต่อชนิดวารีไฟในต์เอลิเมนต์ ได้ทำการศึกษารั้นงานที่มีรูปร่างและลักษณะการรับแรงแบบต่างๆ จำนวน 4 แบบคือ

รั้นงานแผ่นกลม (Circular Bonded Disc) รับแรงกด ดังรูปที่ 5.1

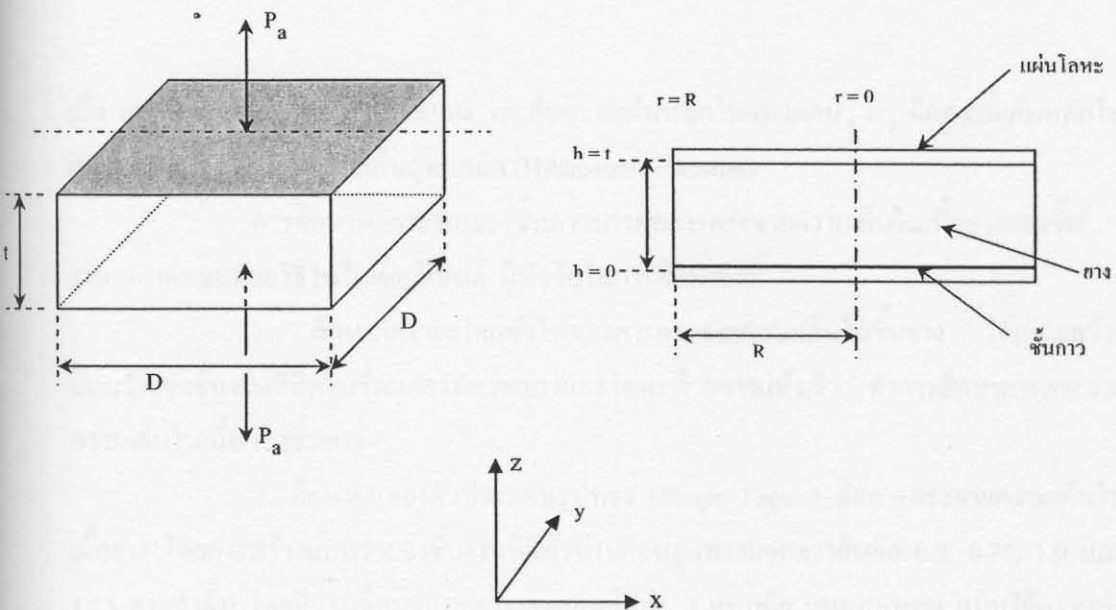
รั้นงานแผ่นกลม (Circular Bonded Disc) รับแรงดึง ดังรูปที่ 5.1

รั้นงานแผ่นสี่เหลี่ยม (Rectangular Bonded Block) รับแรงกด ดังรูปที่ 5.2

รั้นงานแผ่นสี่เหลี่ยม (Rectangular Bonded Block) รับแรงดึง ดังรูปที่ 5.2



รูปที่ 5.1 ลักษณะรั้นงานแผ่นกลมรับแรงกด และ ดึง



รูปที่ 5.2 ลักษณะชิ้นงานแผ่นสี่เหลี่ยมรับแรงกด และ ดึง

การศึกษาการกระจายความเค้นจากแบบจำลอง นุ่งเน้นศึกษาตัวแปรที่มีผลทำให้ความเค้นในชิ้นงานเปลี่ยนไป โดยศึกษาความเค้นในเนื้อยางในเทอมของค่าความเค้นอุทกสถิต (Hydrostatic Pressure) ในเนื้อยาง ซึ่งเป็นตัวแปรหนึ่งที่บ่งชี้การเกิดความเสียหาย (W.V. Chang and S.H. Peng, 1992) และ (I. M. Ward, 1983) โดยในชิ้นงานพิกัดทรงกระบอกหรือแผ่นกลมความเค้นอุทกสถิตมีค่าเท่ากัน

$$\sigma_h = \frac{\sigma_r + \sigma_\theta + \sigma_z}{3} \quad (5.1)$$

เมื่อ σ_r คือความเค้นหลักในแนวรัศมี, σ_θ คือความเค้นหลักในแนวเส้นสัมผัส, σ_z คือความเค้นหลักในแนวแรง และ σ_h คือ ความเค้นอุทกสถิต (Hydrostatic Pressure)

ชิ้นงานแผ่นสี่เหลี่ยมที่มีพิกัดกลางจะมีค่าความเค้นอุทกสถิต(Hydrostatic Pressure) ในเนื้อยางเท่ากัน

$$\sigma_h = \frac{\sigma_1 + \sigma_2 + \sigma_3}{3} \quad (5.2)$$

เมื่อ σ_1 คือความดันหลักในแนวแกน, σ_2 คือความดันหลักในแนวแกน, σ_3 คือความดันหลักในแนวแรง และ σ_h คือ ความดันอุทกสถิต (Hydrostatic Pressure)

การศึกษาผลกระบวนการของชิ้นงานทางต่อการกระจายความดันในเนื้อยางของชิ้นงานแบบต่อชนิดวีร์ไฟในต่ออลิเมนต์ มีหัวข้อในการศึกษาดังนี้

1. ศึกษาลักษณะโดยทั่วไปของการกระจายความดันในชิ้นยาง โดยการสร้างแบบจำลองชิ้นงานที่มีการเชื่อมต่อระหว่างยางและโลหะด้วยการแห้งเร็ว ทำการศึกษาการกระจายความดันในเนื้อยางของชิ้นยาง

2. ศึกษาผลของดั่งประกลบรูปทรง (Shape Factor) ต่อการกระจายความดันในเนื้อยาง โดยการสร้างแบบจำลองชิ้นงานที่มีดั่งประกลบรูปทรงแตกต่างกันคือ 0.5, 0.75, 1.0 และ 1.25 ตามลำดับ โดยมีการเชื่อมต่อระหว่างยางและโลหะ 3 แบบคือ แบบสมบูรณ์ แบบใช้การแห้งเร็ว และแบบใช้การยาน โดยทำการเปรียบเทียบความแตกต่างของลักษณะการกระจายของความดันบริเวณที่มีแนวโน้มเกิดความดันสูงสุด

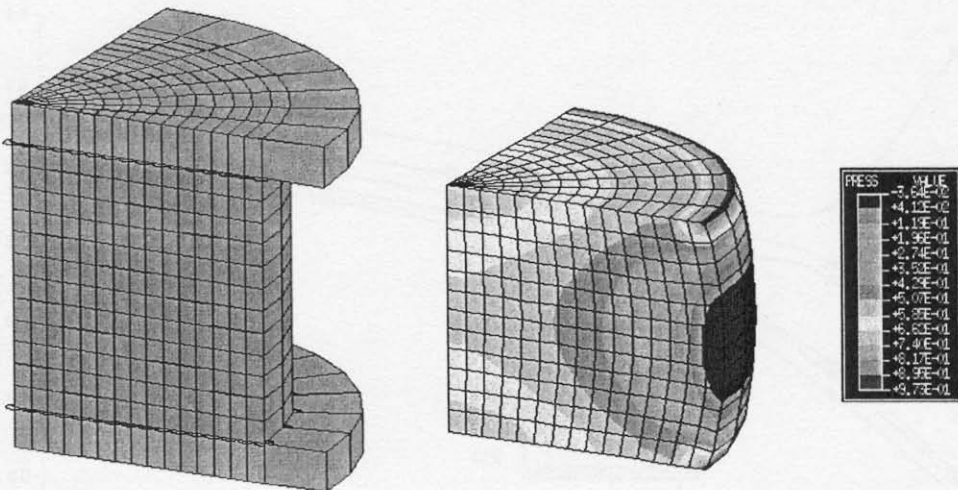
3. ศึกษาผลของความแข็งแรงของกาวต่อการกระจายความดันในเนื้อยาง โดยทำการเปลี่ยนค่าความแข็งแรงของกาวนาคต่างๆ ในแบบจำลอง และทำการเปรียบเทียบกับผลที่ได้จากแบบจำลองที่มีการเชื่อมต่อแบบสมบูรณ์ โดยทำการศึกษาเฉพาะชิ้นงานที่รับแรงกด เนื่องจากชิ้นงานที่รับแรงดึง จะเกิดความเสียหายที่ชั้นกาว เมื่อกาวที่ใช้มีความแข็งแรงต่ำ เช่น กาวยาง

4. การศึกษาผลของความแข็งแรงของกาวต่อค่าความแข็งแรงของชิ้นงาน ศึกษาในเทอมความสัมพันธ์ระหว่างความดันและความเครียดจากแบบจำลองของชิ้นงานยาง โดยใช้กาวที่แตกต่างกัน 2 ชนิด คือ กาวแห้งเร็วและกาวยาง และเปรียบเทียบความสัมพันธ์ระหว่างความดันและความเครียดกับชิ้นงานลักษณะเดียวกันที่ถูกเชื่อมต่อแบบสมบูรณ์และชิ้นงานที่ไม่มีการเชื่อมต่อด้วยวัสดุขึ้นตัว โดยทำการศึกษาเฉพาะชิ้นงานที่รับแรงกด

5.1 ผลการศึกษาการกระจายความดันในชิ้นงานยางแห่นกalon เมื่อรับแรงกด

5.1.1 ลักษณะโดยทั่วไปของการกระจายความดันในชิ้นยางแห่นกalon

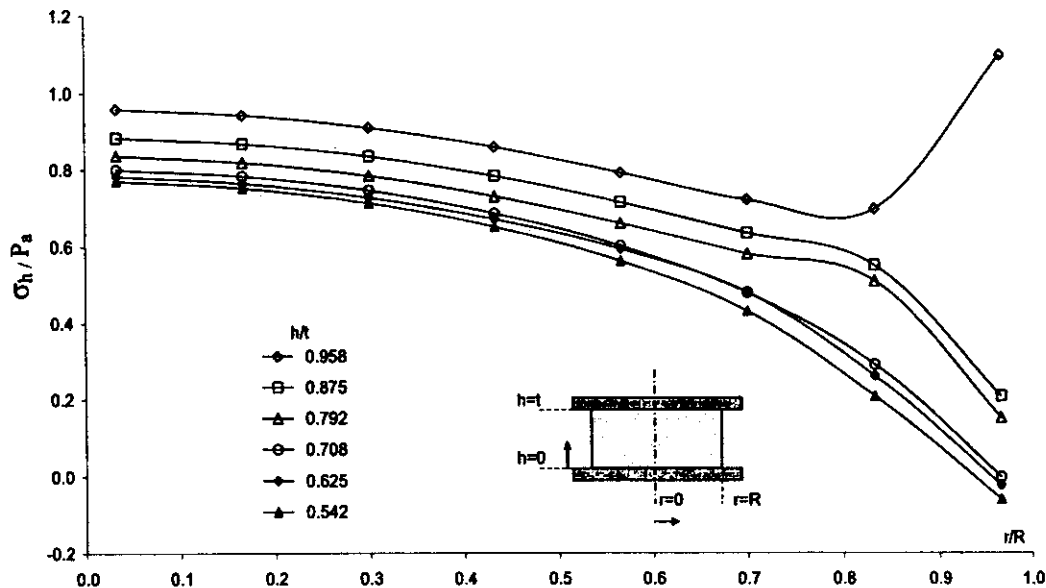
ในการศึกษาลักษณะโดยทั่วไปของการกระจายความดันในชิ้นงานยางแห่นกalon เมื่อรับแรงกด โดยการสร้างแบบจำลองชิ้นงานขนาดเส้นผ่าศูนย์กลาง 40 mm ความหนาเนื้อยาง 20 mm มีค่าดั่งประกลบรูปทรงเท่ากับ 0.5 เชื่อมต่อระหว่างยางและโลหะด้วยการแห้งเร็ว ความหนาชั้นกาว 0.1 mm รับแรงกดคงที่ 0.745 MPa มีค่าความเครียดคง (Compression Strain) 10% สามารถจำลองลักษณะการกระจายความดันในรูปของ ความดันอุทกสถิตในเนื้อยาง ได้ดังรูปที่ 5.3



รูปที่ 5.3 ตัวอย่างลักษณะการกระจายความเคี้นในเนื้อยาง

จากรูปที่ 5.3 พนว่าการกระจายของความเคี้นอุทกสติดในเนื้อยางมีความสมมาตรในแนวรัศมี ความเคี้นอุทกสติดในเนื้อยางมีค่าสูงสุดบริเวณรอยต่อระหว่างเนื้อยางและแผ่นโลหะ และลดลงตามบริเวณตรงกลางของเนื้อยาง และสามารถแสดงผลบนกราฟสองแกนดังรูปที่ 5.4

จากราฟรูปที่ 5.4 พนว่าอัตราส่วนระหว่างความเคี้นอุทกสติด (σ_h) กับแรงดันที่กระทำ (P_a) มีค่าสูงบริเวณใกล้รอยต่อระหว่างกาวกับยาง หรือความหนา $b/t = 0.958$ (ไกล 1) และเปรียบเทียบในแนวรัศมีพบว่า อัตราส่วนระหว่างความเคี้นอุทกสติดกับแรงดันที่กระทำมีค่าสูงบริเวณใกล้จุดศูนย์กลางชิ้นยาง หรือรัศมี $r/R=0.033$ (ใกล้ 0) และจากราฟพนว่าอัตราส่วนระหว่างความเคี้นอุทกสติดกับแรงดันที่กระทำจะมีค่าสูงบริเวณของรอยต่อระหว่างกาวกับยาง ซึ่งบริเวณดังกล่าวพบว่าลักษณะเดลิเมนต์ของยางจะเกิดการเปลี่ยนแปลงรูปร่างมากที่สุดเมื่อชิ้นงานได้รับแรงกด



รูปที่ 5.4 แสดงลักษณะการกระจายค่า σ_h / P_a ตามแนวรัศมีของชิ้นยางเมื่อชิ้นยางรับแรงกด

5.1.2 ผลของตัวประกอบรูปทรง (Shape Factor) ต่อการกระจายความเค้นในเนื้อยาง

ในการศึกษาผลของรูปร่างของชิ้นงานยางต่อการกระจายของความเค้น จะศึกษาในเทอมของตัวประกอบรูปทรง ซึ่งมีความสัมพันธ์กับรูปร่างชิ้นงานดังสมการ

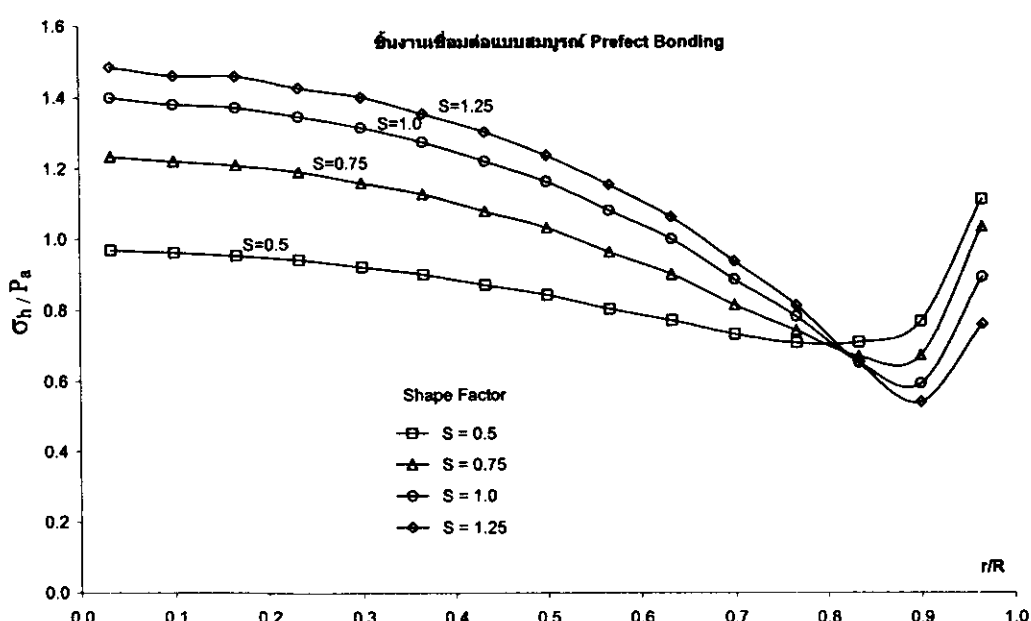
$$S = \frac{D}{4t} \quad (5.3)$$

เมื่อ S คือ ตัวประกอบรูปทรง (Shape Factor), D คือขนาดเส้นผ่าศูนย์กลางของชิ้นยาง และ t คือ ความหนาของชิ้นยาง โดยทำการจำลองแบบชิ้นงานที่มีตัวประกอบรูปทรง ต่างกันคือ ตัวประกอบรูปทรง 0.5 มีเส้นผ่าศูนย์กลาง 40 mm หนา 20 mm, ตัวประกอบรูปทรง 0.75 มีเส้นผ่าศูนย์กลาง 30 mm หนา 10 mm, ตัวประกอบรูปทรง 1.0 มีเส้นผ่าศูนย์กลาง 40 mm หนา 10 mm และตัวประกอบรูปทรง 1.25 มีเส้นผ่าศูนย์กลาง 50 mm หนา 10 mm ตามลำดับ และในแต่ละขนาดจำลองให้มีการเชื่อมต่อระหว่างยางและโลหะ 3 แบบคือ แบบสมบูรณ์ แบบใช้กาวยางเรียว และแบบใช้กาวยาง โดยจำลองสถานการณ์ให้แบบจำลองรับแรงกดคงที่จนชิ้นงานมีความเครียดแรงกด 10% และได้ผลการจำลองสถานการณ์ดังนี้

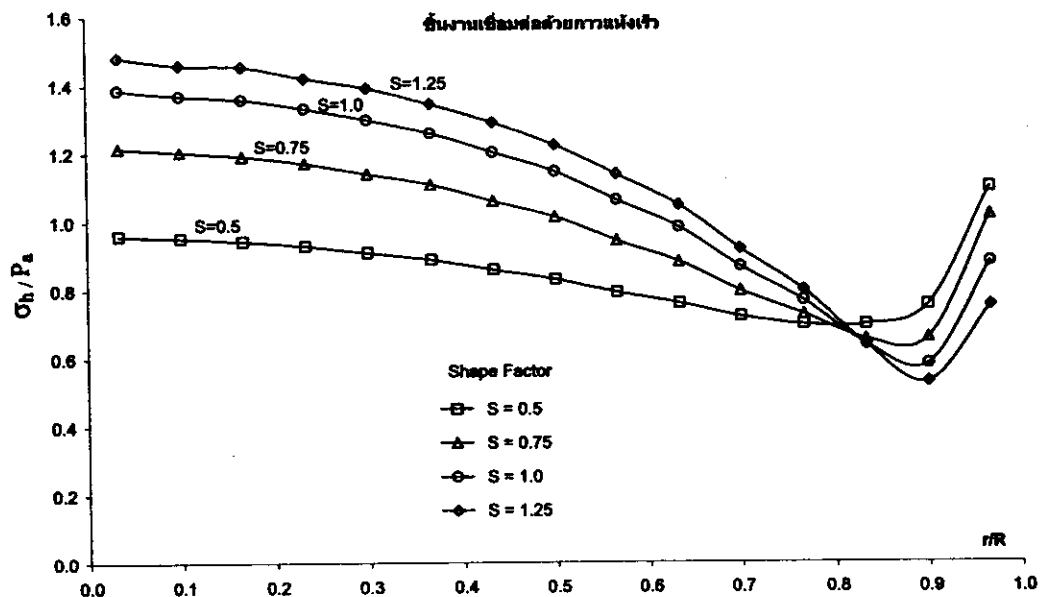
กราฟรูปที่ 5.5 แสดงผลของอัตราส่วนระหว่างความเค้นอุทกสถิตกับแรงดันที่กระทำในเนื้อยางของชิ้นงานขนาดตัวประภณรูปทรง 0.5, 0.75, 1.0 และ 1.25 บีดดิชชินยางกับแผ่นโลหะแบบสมบูรณ์รับแรงกดชนิดความเครียด 10% โดยมีค่าแรงดันที่กระทำเท่ากับ 0.745 MPa, 1.133 MPa, 1.82 MPa และ 2.9 MPa ตามลำดับ

กราฟรูปที่ 5.6 แสดงผลของอัตราส่วนระหว่างความเค้นอุทกสถิตกับแรงดันที่กระทำในเนื้อยางของชิ้นงานขนาดตัวประภณรูปทรง 0.5, 0.75, 1.0 และ 1.25 บีดดิชชินยางกับแผ่นโลหะด้วยการแห้งเร็ว ความหนาชั้นกว้าง 0.1 mm ความนิ่วความต้านทานแรงดึง $E = 5.8$ MPa ความต้านทานแรงเฉือน $G = 2.6$ MPa รับแรงกดชนิดชิ้นงานมีความเครียด 10% โดยมีแรงดันที่กระทำเท่ากับ 0.74 MPa, 1.1 MPa, 1.74 MPa และ 2.67 MPa ตามลำดับ

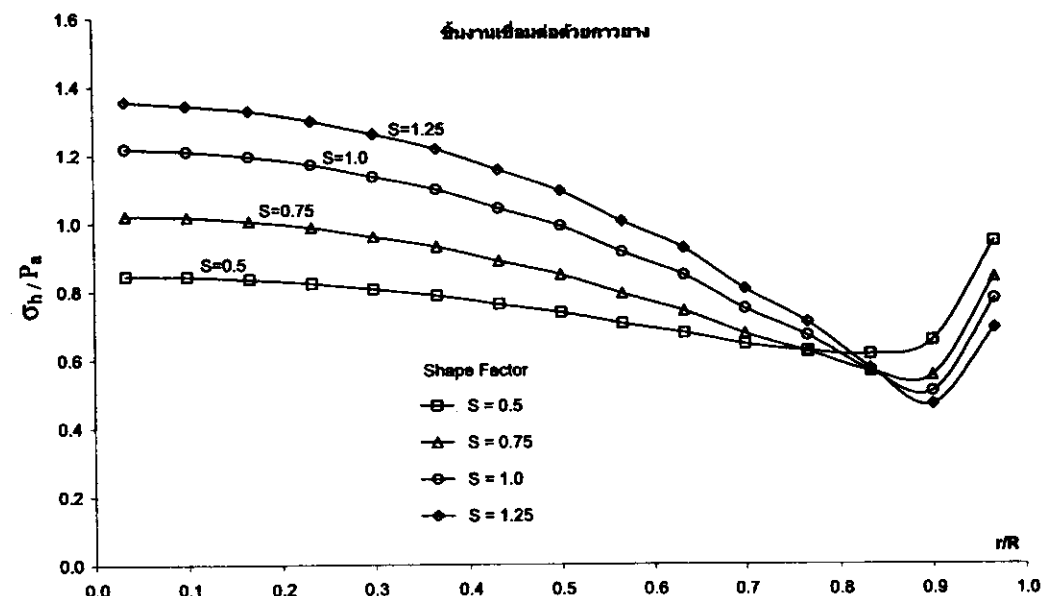
กราฟรูปที่ 5.7 แสดงผลของอัตราส่วนระหว่างความเค้นอุทกสถิตกับแรงดันที่กระทำในเนื้อยางของชิ้นงานขนาดตัวประภณรูปทรง 0.5, 0.75, 1.0 และ 1.25 บีดดิชชินยางกับแผ่นโลหะด้วยการย่าง ความหนาชั้นกว้าง 0.1 mm ความนิ่วความต้านทานแรงดึง $E = 1.128$ MPa ความต้านทานแรงเฉือน $G = 0.154$ MPa รับแรงกดชนิดชิ้นงานมีความเครียด 10% โดยมีแรงดันที่กระทำเท่ากับ 0.68 MPa, 0.82 MPa, 1.18 MPa และ 1.64 MPa ตามลำดับ



รูปที่ 5.5 แสดงลักษณะการกระจายค่า σ_h / P_a ตามแนวรัศมีของชิ้นยาง ที่คำนวณจากความหนา $h/t = 0.96$ ของชิ้นงานที่เชื่อมต่อแบบสมบูรณ์



รูปที่ 5.6 แสดงลักษณะการกระจายค่า σ_h / P_a ตามแนวรัศมีของชิ้นยาง ที่ดำเนินการในห้องความหนา $h/t = 0.96$ ของชิ้นงานที่เชื่อมต่อด้วยการแห้งรีว

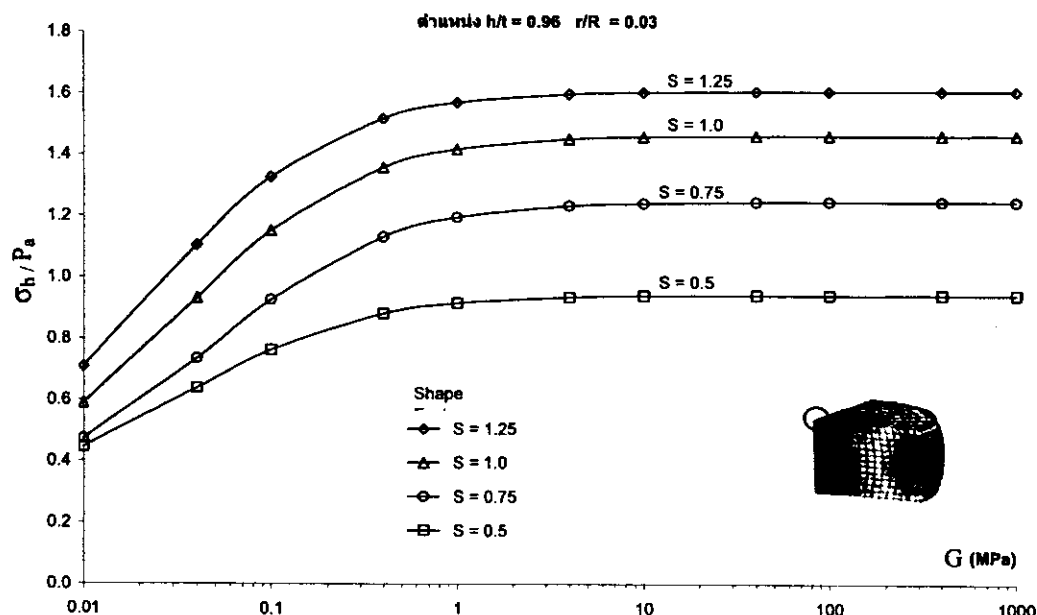


รูปที่ 5.7 แสดงลักษณะการกระจายค่า σ_h / P_a ตามแนวรัศมีของชิ้นยาง ที่ดำเนินการในห้องความหนา $h/t = 0.96$ ของชิ้นงานที่เชื่อมต่อด้วยการขยับ

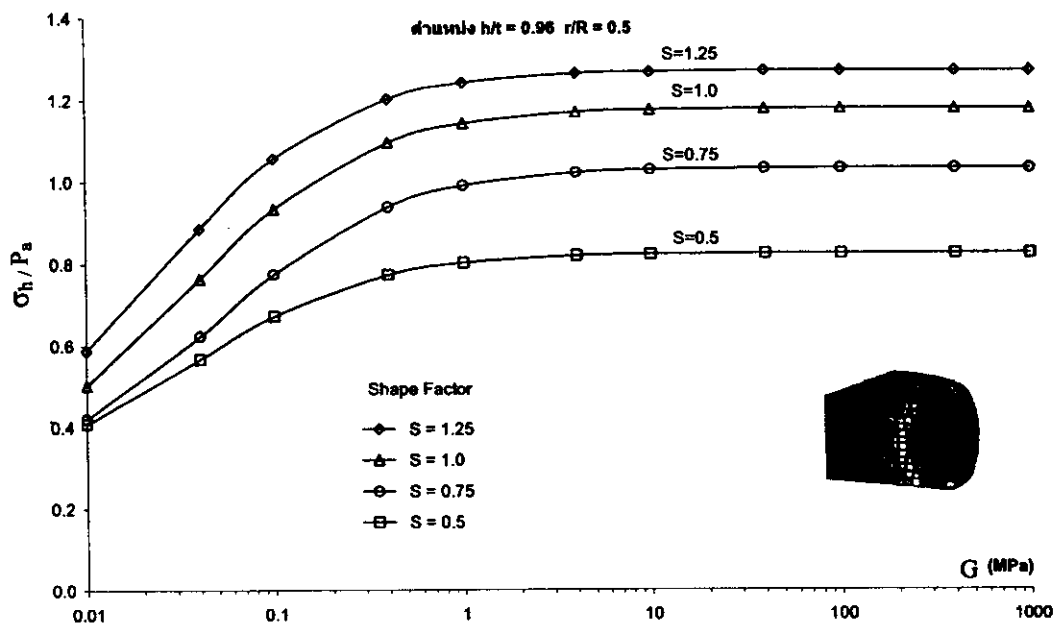
จากกราฟรูปที่ 5.5, 5.6 และ 5.7 ซึ่งแสดงถักยณาการกระชายของอัตราส่วนระหว่างความเค้นอุทกสถิตกับแรงคันที่กระทำตามแนวรัศมีของรั้นช่างของชิ้นงานที่มีตัวประกอบรูปทรงต่างๆ กันพบว่า ชิ้นงานที่ค่าตัวประกอบรูปทรงสูงหรือมีพื้นที่รอยต่อระหว่างการและยางมากหรือมีความหนาของยางน้อย จะมีค่าของอัตราส่วนระหว่างความเค้นอุทกสถิตกับแรงคันที่กระทำสูงกว่าชิ้นงานที่มีค่าตัวประกอบรูปทรงต่ำ

5.1.3 ผลความแข็งแรงของการต่อการกระชายความเค้นในเนื้อยาง

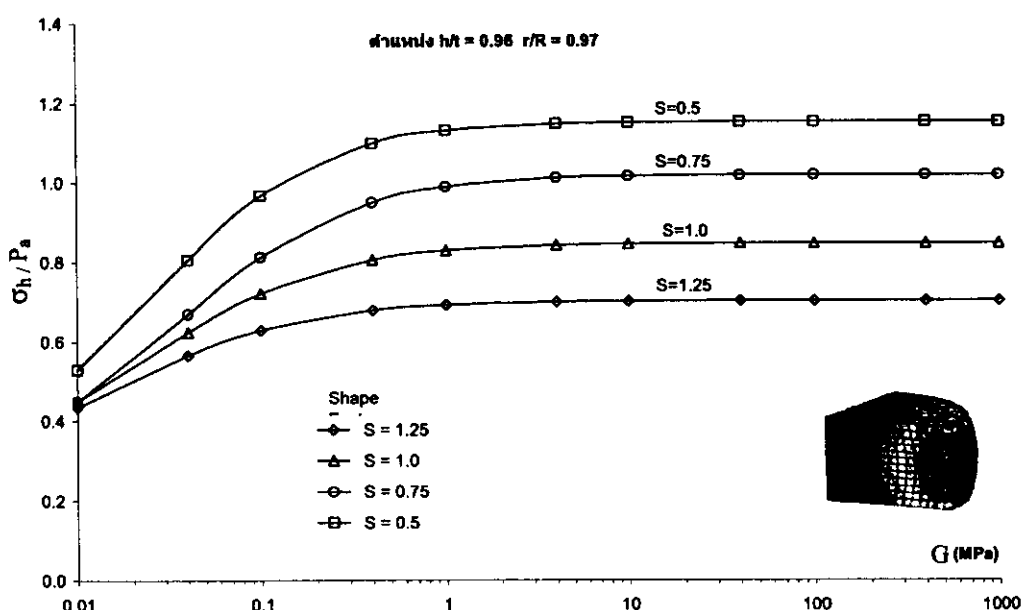
ในการศึกษาผลของความแข็งแรงของการต่อการกระชายความเค้นในเนื้อยางเมื่อชิ้นงานได้รับแรงกดผ่านแบบจำลอง โดยการสร้างแบบจำลองชิ้นงานขนาดต่างๆ (ตัวประกอบรูปทรง = 0.5, 0.75, 1.0 และ 1.25) ที่มีการเชื่อมต่อด้วยชิ้นกาวความหนาคงที่ 0.1 mm และเปลี่ยนสมบัติค่าความด้านทานแรงเฉือนของกาว (G) 0.01, 0.04, 0.1, 0.4, 1, 4, 10, 40, 100, 400 และ 1000 MPa โดยมีค่าความด้านทานแรงดึง (E) คงที่ 5 MPa (ค่าความด้านทานแรงดึงของกาวไม่มีผลต่อการกระชายความเค้นในเนื้อยางเมื่อชิ้นงานได้รับแรงกด) ทำการจำลองสถานการณ์โดยจำลองแรงกดคงที่ 1.0 MPa และทำการเปรียบเทียบค่าอัตราส่วนระหว่างความเค้นอุทกสถิตกับแรงคันที่กระทำ (σ_h / P_a) ของชิ้นยางบริเวณที่มีค่าความเค้นสูง



รูปที่ 5.8 แสดงความสัมพันธ์ระหว่างค่า σ_h / P_a ในเนื้อยาง ที่ตัวแหน่ง $h/t = 0.96$, $r/R = 0.03$ กับค่าความด้านทานแรงเฉือนของกาว



รูปที่ 5.9 แสดงความสัมพันธ์ระหว่างค่า σ_h / P_a ในเนื้อยาง ที่ตัวแหน่ง $h/t = 0.96$, $r/R = 0.5$ กับค่าความต้านทานแรงเฉือนของกาว

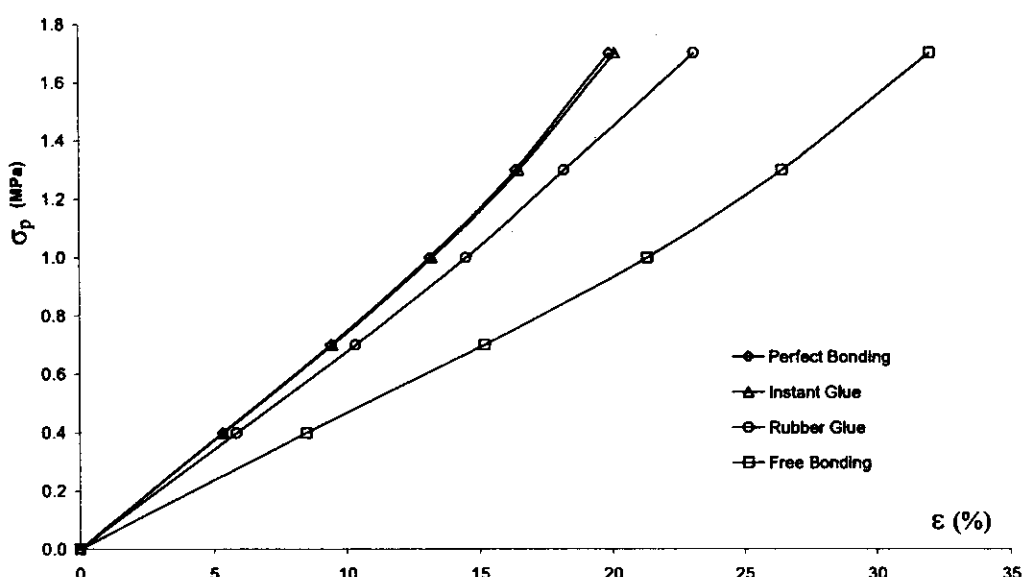


รูปที่ 5.10 แสดงความสัมพันธ์ระหว่างค่า σ_h / P_a ในเนื้อยาง ที่ตัวแหน่ง $h/t = 0.96$, $r/R = 0.97$ กับค่าความต้านทานแรงเฉือนของกาว

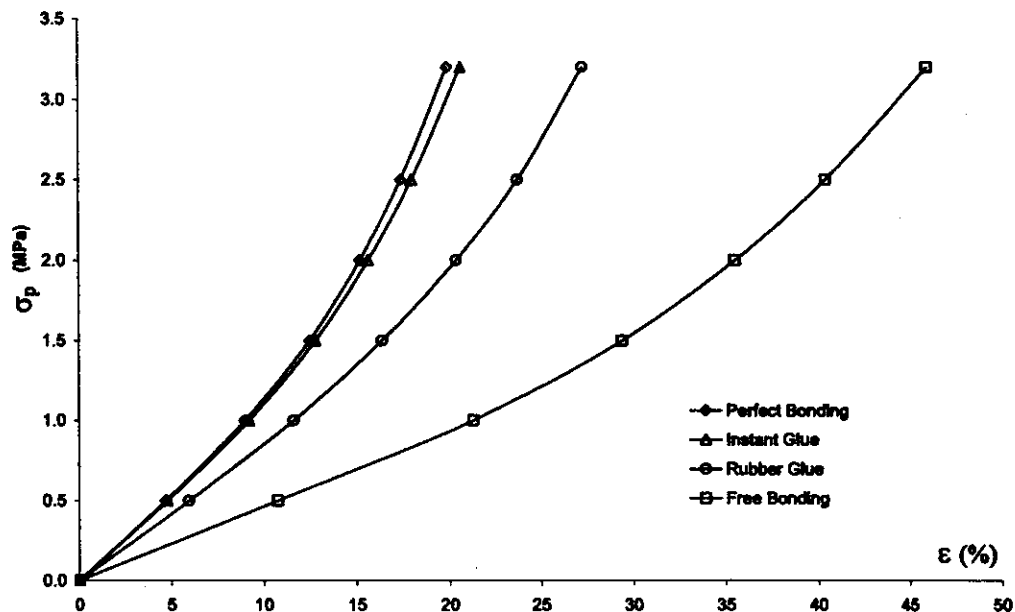
จากการที่รูปที่ 5.8, 5.9 และ 5.10 พบว่าค่าความคืนอุทกสถิตที่เกิดขึ้นในชิ้นงานจะมีค่าลดลง เมื่อการที่ใช้มีสมบัติความด้านทานแรงเฉือนคล่องต่ำกว่า 10 MPa และค่าความคืนอุทกสถิตในชิ้นงานจะมีค่าไก้เดียงหรือเท่ากับความคืนอุทกสถิตในชิ้นงานที่เริ่มต่อแบบสมบูรณ์ เมื่อสมบัติความด้านทานแรงเฉือนของวัสดุที่ใช้เริ่มต้นมากกว่า 10 MPa

5.1.4 ผลความแข็งแรงของการต่อความแข็งเชิงกลของชิ้นงาน

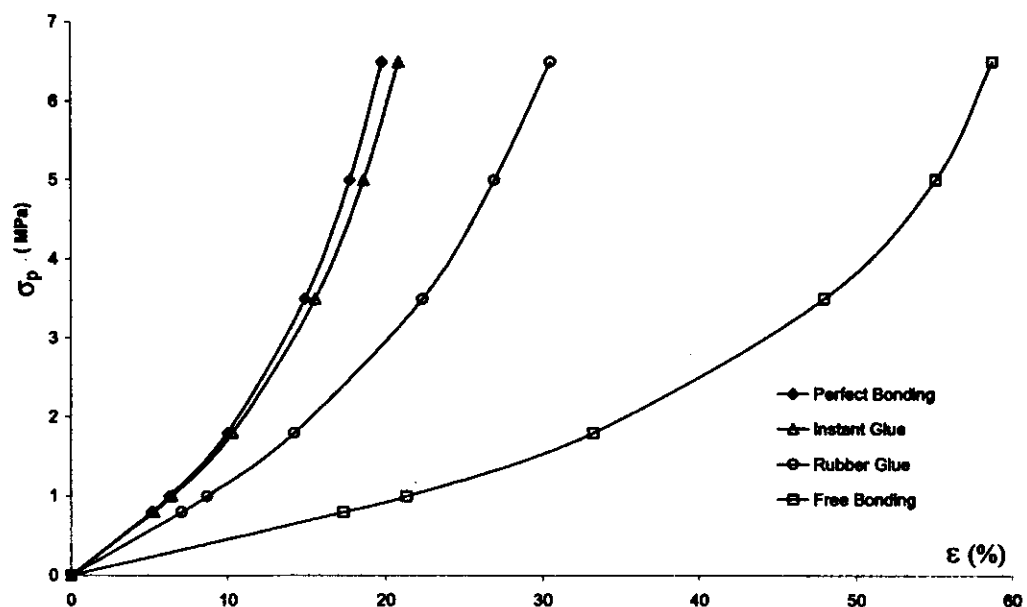
ในการศึกษาผลของความด้านทานแรงของความแข็งแรงของความแข็งเชิงกลของชิ้นงานศึกษาในท่อนความสัมพันธ์ระหว่างความคืนทานวิศวกรรม (σ_p) และความเครียด (ε) จากแบบจำลองของชิ้นงานยาง โดยใช้การที่แตกต่างกัน 2 ชนิด คือ ภาวะแห้งเร็ว (ความด้านทานแรงคง $E = 5.8 \text{ MPa}$ ความด้านทานแรงเฉือน $G = 2.6 \text{ MPa}$) และภาวะยาง (ความด้านทานแรงคง $E = 1.128 \text{ MPa}$ ความด้านทานแรงเฉือน $G = 0.154 \text{ MPa}$) และเปรียบเทียบความสัมพันธ์ระหว่างความคืนและความเครียดกับชิ้นงานลักษณะเดียวกันที่ถูกเริ่มต่อแบบสมบูรณ์ และชิ้นงานที่ไม่มีการเริ่มต่อด้วยสตั๊ดบูลติก



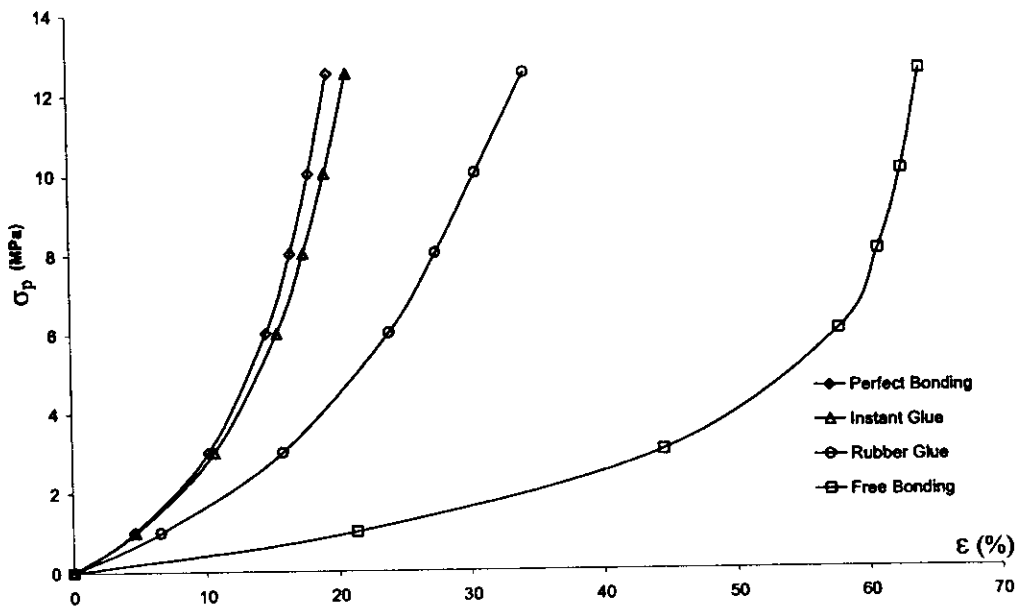
รูปที่ 5.11 แสดงความสัมพันธ์ระหว่างความคืนทานวิศวกรรมและความเครียดของชิ้นงานขนาดเส้นผ่าศูนย์กลาง 40 mm หนา 20 mm ตัวประกอบรูปทรง 0.5



รูปที่ 5.12 แสดงความสัมพันธ์ระหว่างความเห็นทางวิศวกรรมและความเครียดของชิ้นงานขนาด
เส้นผ่าศูนย์กลาง 30 mm หนา 10 mm ตัวประกอบบูรณากร 0.75



รูปที่ 5.13 แสดงความสัมพันธ์ระหว่างความเห็นทางวิศวกรรมและความเครียดของชิ้นงานขนาด
เส้นผ่าศูนย์กลาง 40 mm หนา 10 mm ตัวประกอบบูรณากร 1.0



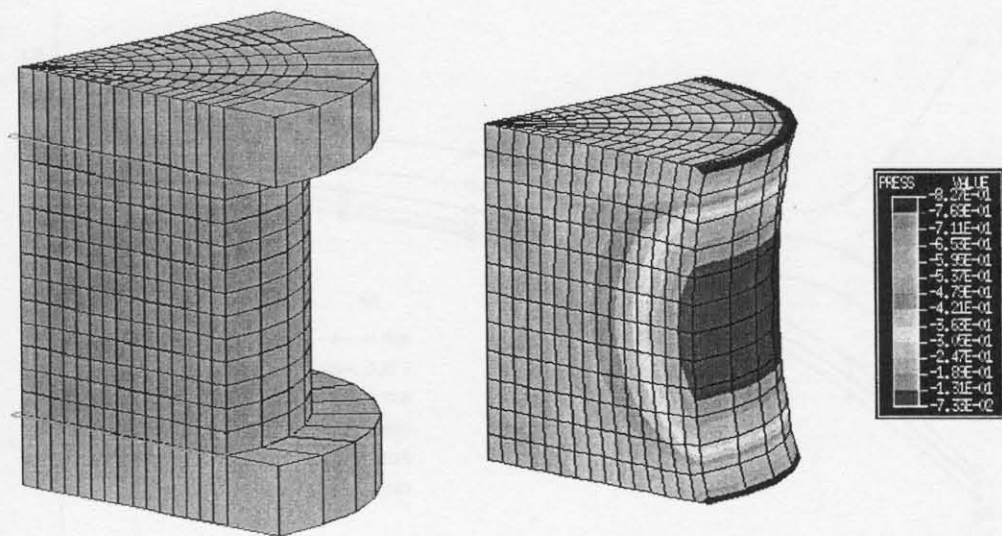
รูปที่ 5.14 แสดงความสัมพันธ์ระหว่างความเห็นทางวิศวกรรมและความเครียดของชิ้นงานขนาดเส้นผ่าศูนย์กลาง 50 mm หนา 10 mm ตัวประกอบรูปทรง 1.25

จากราฟรูปที่ 5.11, 5.12, 5.13 และ 5.14 พิจารณาค่าความเห็นที่เกิดขึ้นที่ค่าความเครียดเดียวกันพบว่าชิ้นงานที่ขัดตัวแบบสมบูรณ์มีค่าความเห็นสูงสุด ลำดับถัดมาเป็นชิ้นงานที่ขัดตัวด้วยการแห้งเร็ว ขาวบาง และชิ้นงานที่ไม่มีการขัดตัวมีค่าความเห็นต่ำสุด และจากการเพียงพบว่าชิ้นงานที่เชื่อมต่อด้วยการจะทำให้ความแข็งของยางที่ความเครียดใดๆลดลงเมื่อเทียบกับความแข็งของยางที่เชื่อมต่อแบบสมบูรณ์ที่ความเครียดเดียวกัน และชิ้นงานที่เชื่อมต่อด้วยการที่มีความแข็งแรงสูงจะมีความแข็งของยางสูงกว่าชิ้นงานที่เชื่อมต่อด้วยการที่มีความแข็งแรงต่ำ

5.2 ผลการศึกษาการกระจายความเห็นในชิ้นงานยางแผ่นกลมเมื่อรับแรงดึง

5.2.1 ลักษณะ โดยทั่วไปของการกระจายความเห็นในชิ้นงานยางแผ่นกลม

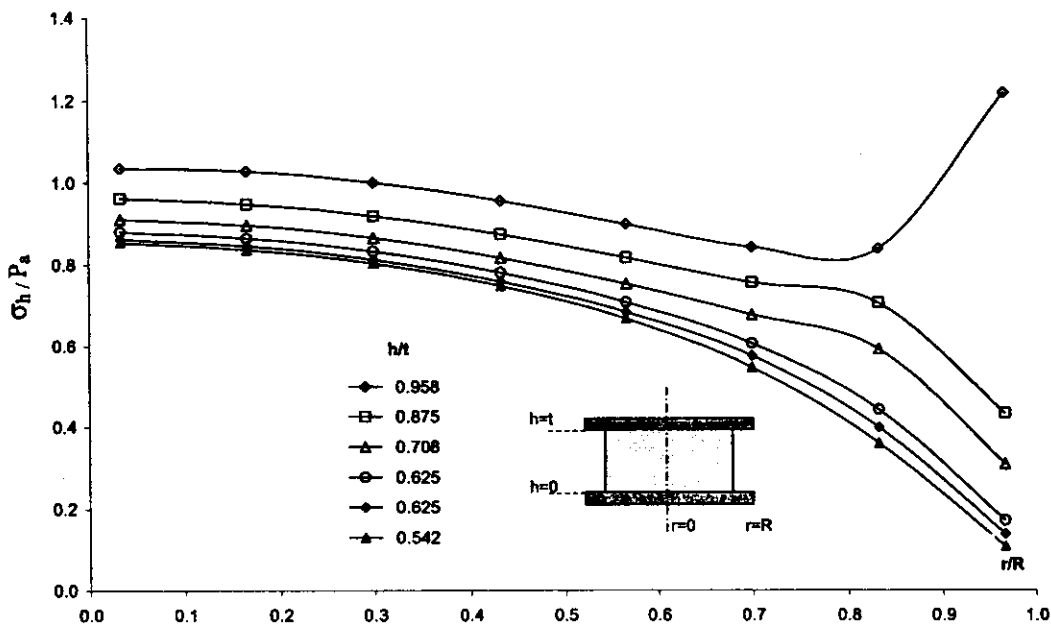
ในการศึกษาลักษณะทั่วไปของการกระจายความเห็นในชิ้นงานยางแผ่นกลมเมื่อรับแรงดึง โดยการสร้างแบบจำลองชิ้นงานขนาดเส้นผ่าศูนย์กลาง 40 mm ความหนาเนื้อยาง 20 mm มีค่าตัวประกอบรูปทรงเท่ากับ 0.5 เชื่อมต่อระหว่างยางและโลหะด้วยการแห้งเร็ว ความหนาชั้นการ 0.1 mm รับแรงดึงคงที่ 0.68 MPa มีค่าความเครียดคงที่ (Tension Strain) 10% สามารถจำลองลักษณะการกระจายความเห็นในรูปของความเห็นอุทกสถิตในเนื้อยาง ได้ดังรูปที่ 5.15



รูปที่ 5.15 ตัวอย่างลักษณะการกระจายความเค้นในเนื้อยาง

จากรูปที่ 5.15 พนวณการกระจายของความเค้นอุทกสติตในเนื้อยางมีความสมมาตรในแนววัรค์มี ค่าความเค้นอุทกสติตในเนื้อยางมีค่าสูงสุดบริเวณรอยต่อระหว่างเนื้อยางและแผ่นโลหะ และจะลดลงตามบริเวณตรงกลางของเนื้อยาง และสามารถแสดงผลบนกราฟสองแกนดังรูปที่ 5.16

จากกราฟรูปที่ 5.16 พนวณอัตราส่วนระหว่างความเค้นอุทกสติตกับแรงดันที่กระทำจะมีค่าสูงบริเวณใกล้รอยต่อระหว่างกาวกับยาง หรือความหนา $b/t = 0.958$ (ไกส์ 1) และเปรียบเทียบในแนววัรค์มีพบว่า อัตราส่วนระหว่างความเค้นอุทกสติตกับแรงดันที่กระทำจะมีค่าสูงบริเวณใกล้จุดศูนย์กลางชิ้นยาง หรือวัรค์มี $r/R = 0.033$ (ไกส์ 0) และจากกราฟพนวณอัตราส่วนระหว่างความเค้นอุทกสติตกับแรงดันที่กระทำจะมีค่าสูงบริเวณขอบของยางจะเกิดการเปลี่ยนแปลงรูปร่างมากที่สุดเมื่อชิ้นงานได้รับแรงดึง



รูปที่ 5.16 แสดงลักษณะการกระจายค่า σ_h / P_a ตามแนวรัศมีของชิ้นยางเมื่อชิ้นงานรับแรงดึง

5.2.2 ผลของตัวประกอบรูปทรง (Shape Factor) ต่อการกระจายความเด็นในเนื้อยาง

ในการศึกษาผลของรูปร่างของชิ้นงานยางต่อการกระจายของความเด็น จะศึกษาในเทอมของตัวประกอบรูปทรงซึ่งมีความสัมพันธ์กับรูปร่างชิ้นงานดังสมการ

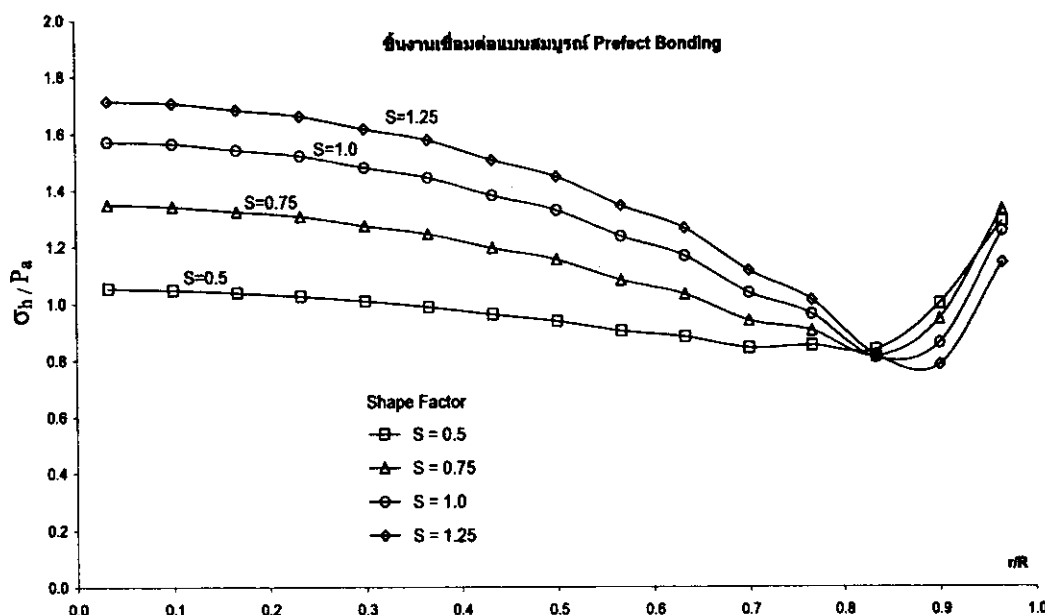
$$S = \frac{D}{4t} \quad (5.4)$$

เมื่อ S คือ ตัวประกอบรูปทรง (Shape Factor), D คือขนาดเส้นผ่าศูนย์กลางของชิ้นยาง และ t คือ ความหนาของชิ้นยาง

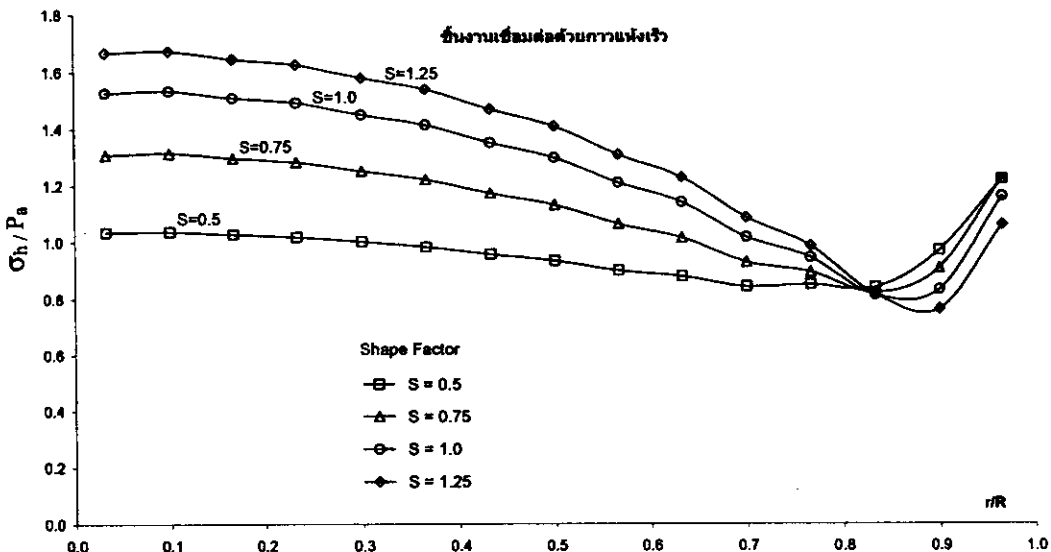
โดยทำการจำลองแบบชิ้นงานที่มีค่าตัวประกอบรูปทรงต่างกันคือ ตัวประกอบรูปทรง 0.5 มีเส้นผ่าศูนย์กลาง 40 mm หนา 20 mm, ตัวประกอบรูปทรง 0.75 มีเส้นผ่าศูนย์กลาง 30 mm หนา 10 mm ตัวประกอบรูปทรง 1.0 มีเส้นผ่าศูนย์กลาง 40 mm หนา 10 mm และตัวประกอบรูปทรง 1.25 มีเส้นผ่าศูนย์กลาง 50 mm หนา 10 mm ตามลำดับ และในแต่ละขนาดจำลองให้มีการเพิ่มต่อระหว่างยางและโลหะ 2 แบบคือ แบบสมบูรณ์และแบบใช้ภาวะแห้งเร็ว และจำลองสถานการณ์ให้แบบจำลองรับแรงดึงคงที่จนชิ้นงานมีความเครียดแรงกด 10% และได้ผลการจำลองสถานการณ์ดังนี้

กราฟรูปที่ 5.17 แสดงผลของอัตราส่วนระหว่างความเก้นอุทกสติกกับแรงดันที่กระทำในเนื้อยางของชิ้นงานขนาด ตัวประกอนรูปทรง 0.5, 0.75, 1.0 และ 1.25 ยึดติดชิ้นยางกับแผ่นโลหะแบบสมบูรณ์ รับแรงดึง伸展 มีความเครียด 10% โดยมีค่าแรงดันที่กระทำเท่ากับ 0.7 MPa, 0.98 MPa, 1.43 MPa และ 2.1 MPa ตามลำดับ

กราฟรูปที่ 5.18 แสดงผลของอัตราส่วนระหว่างความเก้นอุทกสติกกับแรงดันที่กระทำในเนื้อยาง ของชิ้นงานขนาด ตัวประกอนรูปทรง 0.5, 0.75, 1.0 และ 1.25 ยึดติดชิ้นยางกับแผ่นโลหะด้วยการแห้งเร็ว ความหนาชั้นกาว 0.1 mm การมีความต้านทานแรงดึง $E = 5.8$ MPa ความต้านทานแรงเฉือน $G = 2.6$ MPa รับแรงดึง伸展 มีความเครียด 10% โดยมีค่าแรงดันที่กระทำเท่ากับ 0.68 MPa, 0.92 MPa, 1.3 MPa และ 2.1 MPa ตามลำดับ



รูปที่ 5.17 แสดงลักษณะการกระชาข่าย σ_h / P_a ตามแนวรัศมีของชิ้นยาง ที่ทำให้หนาความหนา $h/t = 0.96$ ของชิ้นงานที่เข้มต่อแบบสมบูรณ์



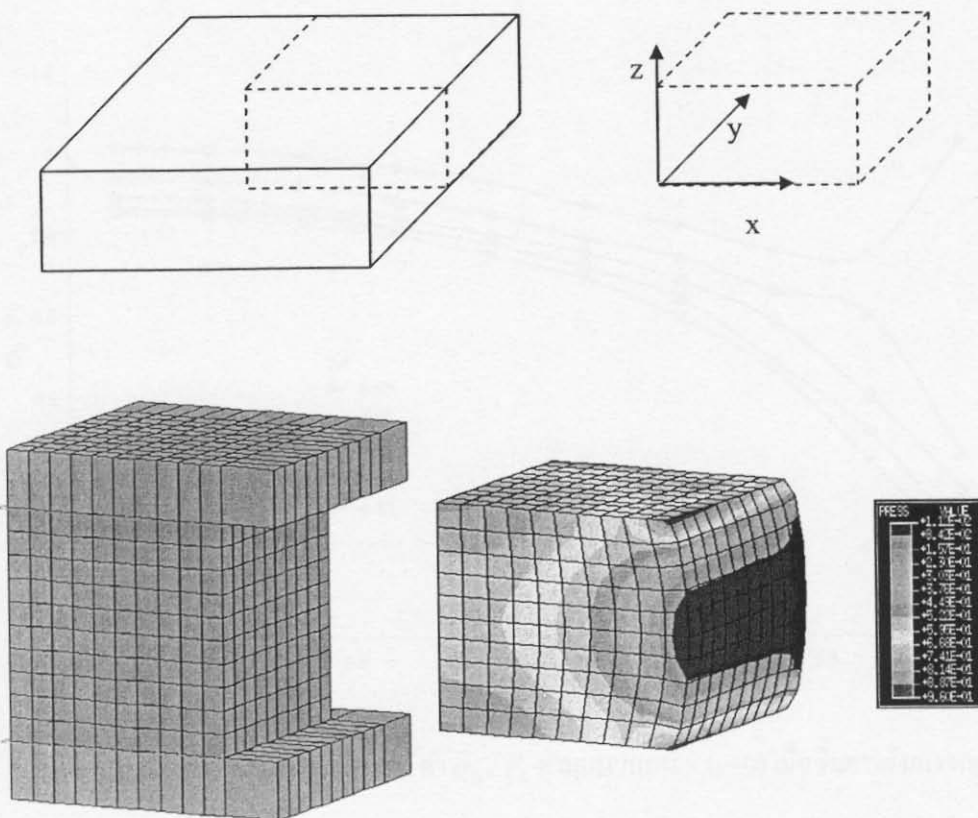
รูปที่ 5.18 แสดงลักษณะการกระจายค่า σ_y / P_a ตามแนวรัศมีของชิ้นยาง ที่ดำเนินการแห้งเร็ว
 $h/t = 0.96$ ของชิ้นงานที่เชื่อมต่อหัวการแห้งเร็ว

จากการรูปที่ 5.17 และ 5.18 ซึ่งแสดงลักษณะการกระจายของอัตราส่วนระหว่างความเค้นอุทกสถิตกับค่าแรงดันที่กระทำตามแนวรัศมีของชิ้นยางของชิ้นงานที่มีค่าตัวประกอบรูปทรงต่างๆ กันพบว่า ชิ้นงานที่ค่าตัวประกอบรูปทรงสูงหรือมีพื้นที่ร่องขึ้ต่ำระหว่างการและบางมากหรือมีความหนาของยางน้อยจะมีค่าของอัตราส่วนระหว่างความเค้นอุทกสถิตกับแรงดันที่กระทำสูงกว่าชิ้นงานที่มีค่าตัวประกอบรูปทรงต่ำ

5.3 ผลการศึกษาการกระจายความเค้นในชิ้นงานยางแผ่นสีเหลืองเมื่อรับแรงกด

5.3.1 ลักษณะโดยทั่วไปของการกระจายความเค้นในชิ้นยางแผ่นสีเหลือง

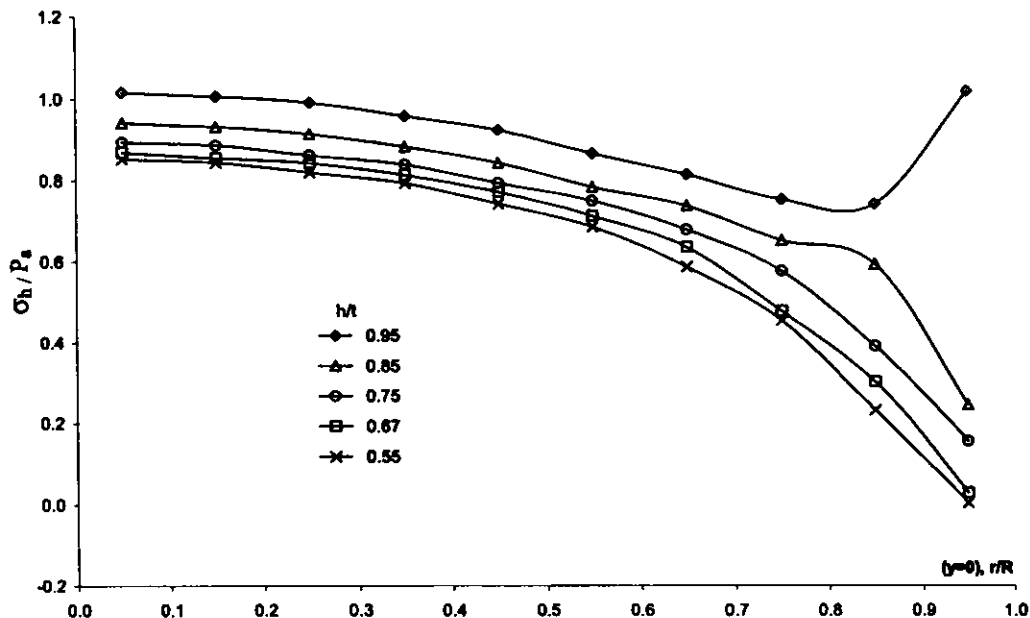
ในการศึกษาลักษณะทั่วไปของการกระจายความเค้นในชิ้นงานยางแผ่นสีเหลือง เมื่อรับแรงกด โดยการสร้างแบบจำลองชิ้นงานขนาดความกว้าง ยาว 40×40 mm ความหนาเนื้อยาง 20 mm มีค่าตัวประกอบรูปทรงเท่ากับ 0.5 เชื่อมต่อระหว่างยางและโลหะด้วยการแห้งเร็ว ความหนาชั้นกาว 0.1 mm รับแรงกดคงที่ 0.82 MPa มีค่าความเครียด (Compression Strain) 10% สามารถจำลองลักษณะการกระจายความเค้นในรูปของความเค้นอุทกสถิตในเนื้อยางได้ดังรูปที่ 5.19



รูปที่ 5.19 ตัวอย่างลักษณะการกระจายความเค้นในเนื้อยาง

จากรูปที่ 5.19 พนวณการกระจายของความเค้นอุทกสอดิคในเนื้อยางมีค่าสูงสุดบริเวณรอยต่อระหว่างเนื้อยางและแผ่นโลหะ และลดลงตามศูนย์บริเวณตรงกลางของเนื้อยาง และสามารถแสดงผลบนกราฟสองแกนดังรูปที่ 5.20

จากราฟรูปที่ 5.20 พนวณอัตราส่วนระหว่างความเค้นอุทกสอดิคกับแรงดันที่กระทำจะมีค่าสูงบริเวณใกล้รอยต่อระหว่างกาวกับยาง หรือความหนา $h/t = 0.958$ (ใกล้ 1) และเปรียบเทียบในแนวแกน x ($y = 0$) พนวณอัตราส่วนระหว่างความเค้นอุทกสอดิคกับแรงดันที่กระทำจะมีค่าสูงบริเวณใกล้จุดศูนย์กลางชิ้นยาง หรือตำแหน่งในแนวแกน x , $x/X = 0.05$ (ใกล้ 0) และจากกราฟพนวณอัตราส่วนระหว่างความเค้นอุทกสอดิคกับแรงดันที่กระทำจะมีค่าสูงบริเวณขอบของรอยต่อระหว่างกาวกับยาง ซึ่งบริเวณดังกล่าวพบว่าลักษณะอลิเมนต์ของยางจะเกิดการเปลี่ยนแปลงรูปร่างมากที่สุดเมื่อชิ้นงานได้รับแรงกด



รูปที่ 5.20 แสดงลักษณะการกระจายค่า σ_y / P_a ตามแนวแกน x ($y=0$) เมื่อขั้นบางรับแรงกด

5.3.2 ผลของ ตัวประกอบรูปทรง (Shape Factor) ต่อการกระจายความเดินในเนื้อยาง
ในการศึกษาผลของรูปร่างของชิ้นงานยางต่อการกระจายของความเดิน จะศึกษา¹
ในเทอมของตัวประกอบรูปทรงซึ่งมีความสัมพันธ์กับรูปร่างชิ้นงานดังสมการ

$$S = \frac{D}{4t} \quad (5.5)$$

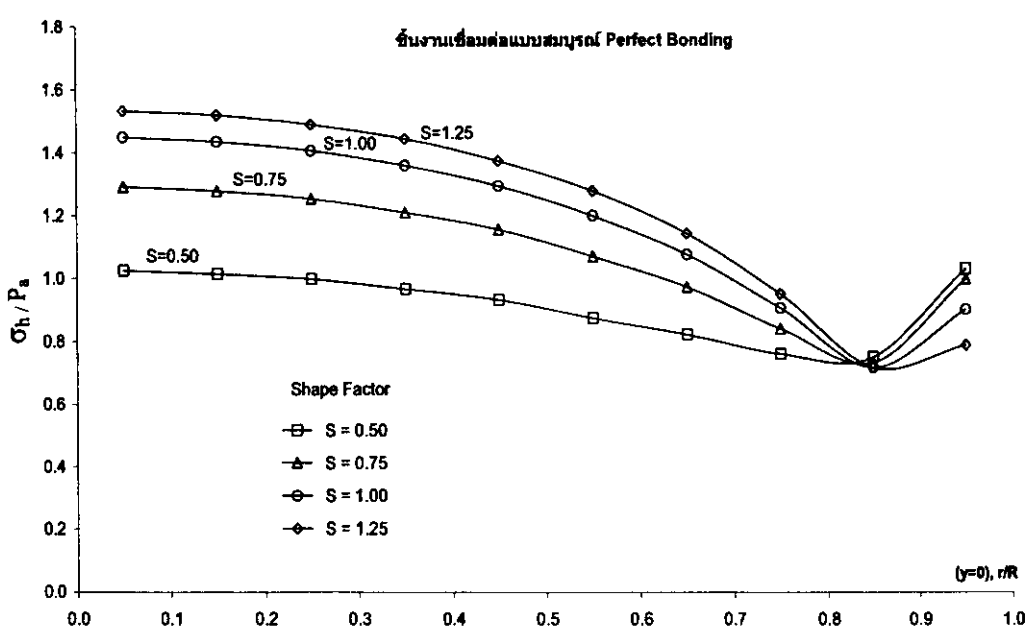
เมื่อ S คือตัวประกอบรูปทรง (Shape Factor), D คือขนาดความกว้าง ยาง ของชิ้นยาง และ t คือ²
ความหนาของชิ้นยาง

โดยทำการจำลองแบบชิ้นงานที่มีค่าตัวประกอบรูปทรงต่างกันคือ ค่าตัวประกอบ
รูปทรง 0.5 มีความกว้าง ยาง 40 mm หนา 20 mm ตัวประกอบรูปทรง 0.75 มีความกว้าง ยาง
30 mm หนา 10 mm, ตัวประกอบรูปทรง 1.0 มีความกว้าง ยาง 40 mm หนา 10 mm และค่าตัว
ประกอบรูปทรง 1.25 มีความกว้าง ยาง 50 mm หนา 10 mm ตามลำดับ และในแต่ละขนาดจำลอง
ให้มีการเชื่อมต่อระหว่างยางและโลหะ 3 แบบคือ แบบสมบูรณ์ แบบใช้การแห้งเร็ว และแบบใช้
การยาง และจำลองสถานการณ์ให้แบบจำลองรับแรงกดคงที่จนชิ้นงานมีความเครียดแรงกด 10%
และได้ผลการจำลองสถานการณ์ดังนี้

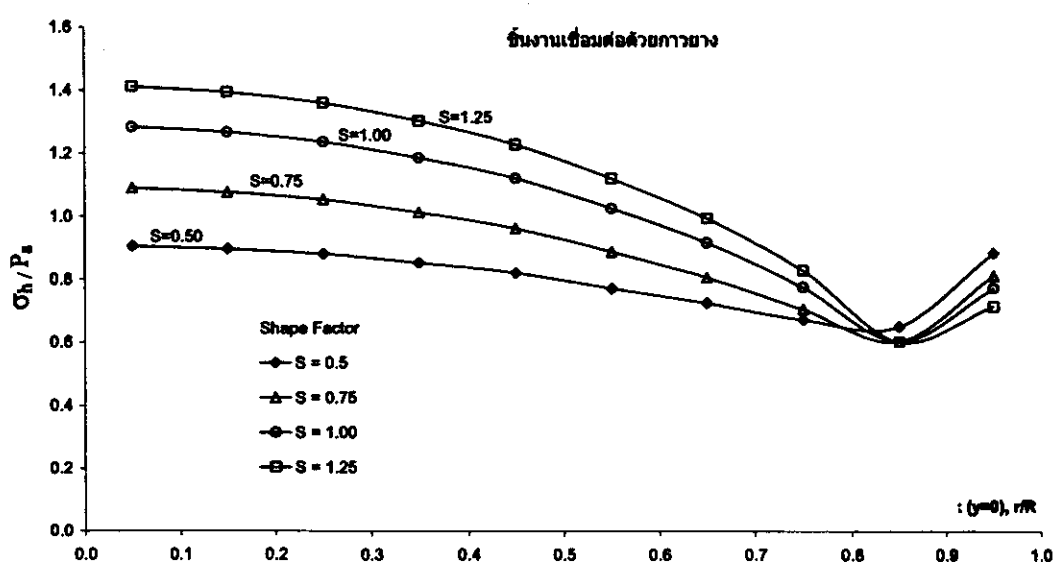
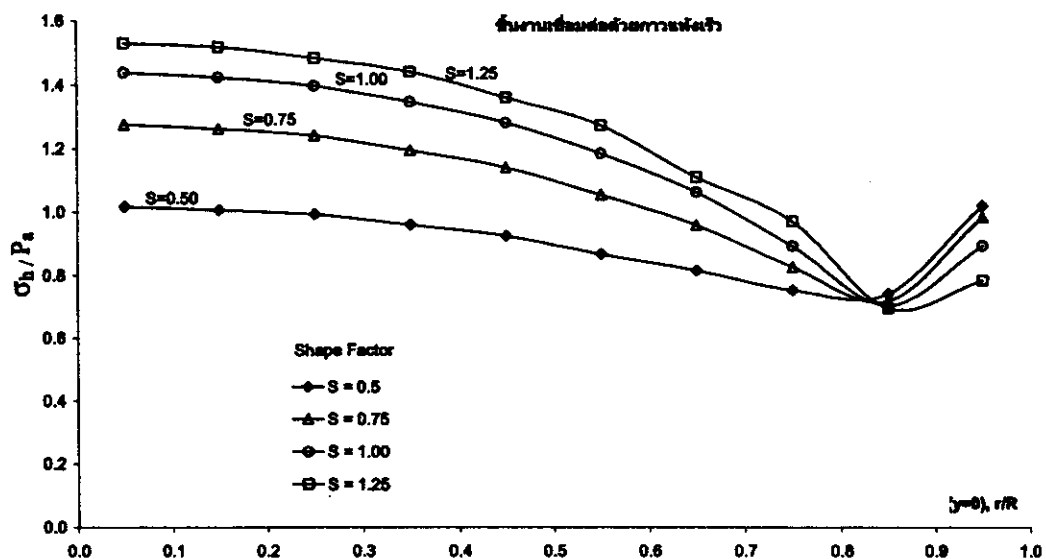
กราฟรูปที่ 5.21 แสดงผลของอัตราส่วนระหว่างความเค้นอุทกสถิติกับแรงดันที่กระทำในเนื้อยางของชิ้นงานขนาดตัวประกอบรูปทรง 0.5, 0.75, 1.0 และ 1.25 บีคติชิ้นยางกับแผ่นโลหะแบบสมบูรณ์รับแรงกดชนิดความเครียด 10% โดยมีค่าแรงดันที่กระทำเท่ากับ 0.83 MPa, 1.35 MPa, 2.2 MPa และ 3.53 MPa ตามลำดับ

กราฟรูปที่ 5.22 แสดงผลของอัตราส่วนระหว่างความเค้นอุทกสถิติกับแรงดันที่กระทำในเนื้อยางของชิ้นงานขนาดตัวประกอบรูปทรง 0.5, 0.75, 1.0 และ 1.25 บีคติชิ้นยางกับแผ่นโลหะด้วยการแห้งเร็ว ความหนาชั้นกว้าง 0.1 mm การมีความด้านทานแรงดึง $E = 5.8$ MPa ความด้านทานแรงเฉือน $G = 2.6$ MPa รับแรงกดชนิดความเครียด 10% โดยมีค่าแรงดันที่กระทำเท่ากับ 0.82 MPa, 1.3 MPa, 2.1 MPa และ 3.32 MPa ตามลำดับ

กราฟรูปที่ 5.23 แสดงผลของอัตราส่วนระหว่างความเค้นอุทกสถิติกับแรงดันที่กระทำในเนื้อยางของชิ้นงานขนาดตัวประกอบรูปทรง 0.5, 0.75, 1.0 และ 1.25 บีคติชิ้นยางกับแผ่นโลหะด้วยการย่าง ความหนาชั้นกว้าง 0.1 mm การมีความด้านทานแรงดึง $E = 1.128$ MPa ความด้านทานแรงเฉือน $G = 0.154$ MPa รับแรงกดชนิดความเครียด 10% โดยมีค่าแรงดันที่กระทำเท่ากับ 0.74 MPa, 0.96 MPa, 1.38 MPa และ 1.96 MPa ตามลำดับ



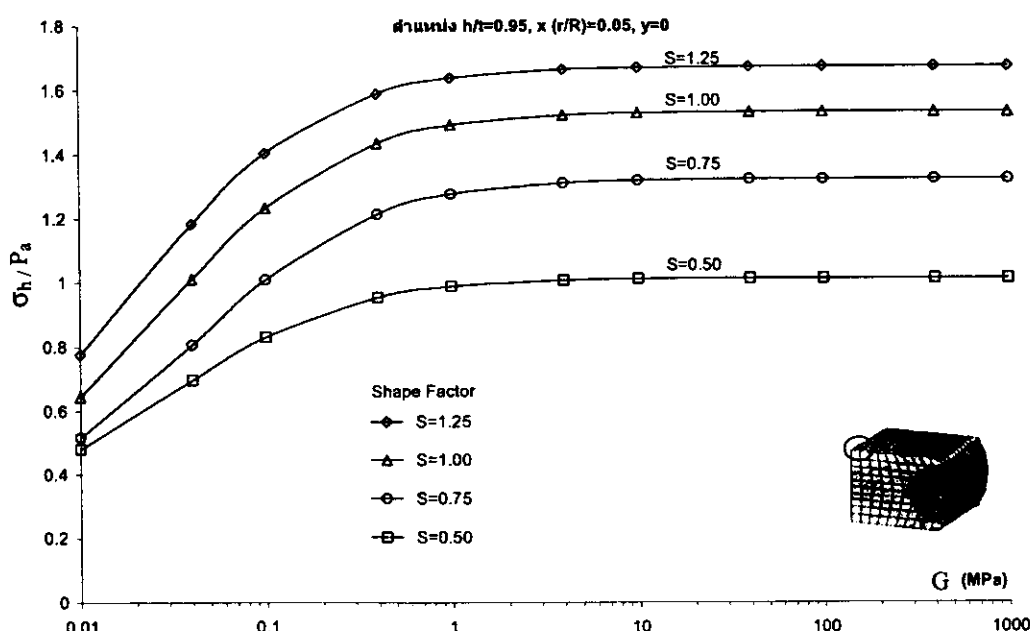
รูปที่ 5.21 สัดส่วนของการกระจายค่า σ_h / P_a ตามแนวแกน x ($y=0$) ของชิ้นยางที่ดำเนินการความหนา $h/t = 0.96$ ของชิ้นงานที่เชื่อมต่อแบบสมบูรณ์



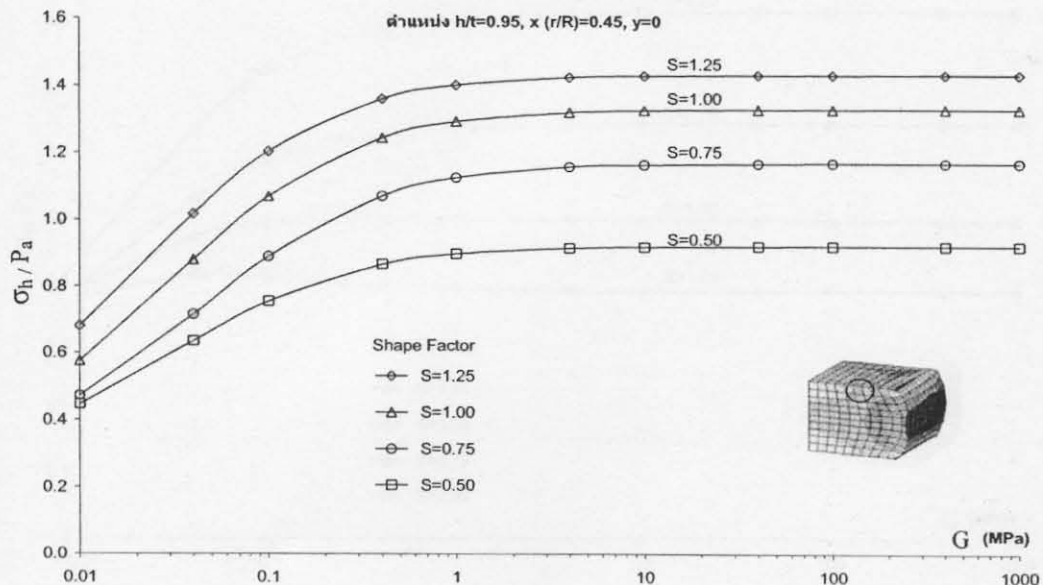
จากราฟรูปที่ 5.21, 5.22 และ 5.23 ซึ่งแสดงถึงผลของการกระจายของความเค้นอุทกสติกับแรงดันที่กระทำตามแนวแกน x ($y=0$) ของชิ้นงานที่มีค่าตัวประกอบรูปทรงต่างๆ กันพบว่า ชิ้นงานที่ค่าตัวประกอบรูปทรงสูง หรือมีพื้นที่รอบต่อรอบห่วงกว้างและบางมาก หรือมีความหนาของหางน้อย จะมีค่าของความเค้นอุทกสติกับแรงดันที่กระทำสูงกว่าชิ้นงานที่มีค่าตัวประกอบรูปทรงต่ำ

5.3.3 ผลความแข็งแรงของกาต่อการกระจายความเค้นในเนื้อยาง

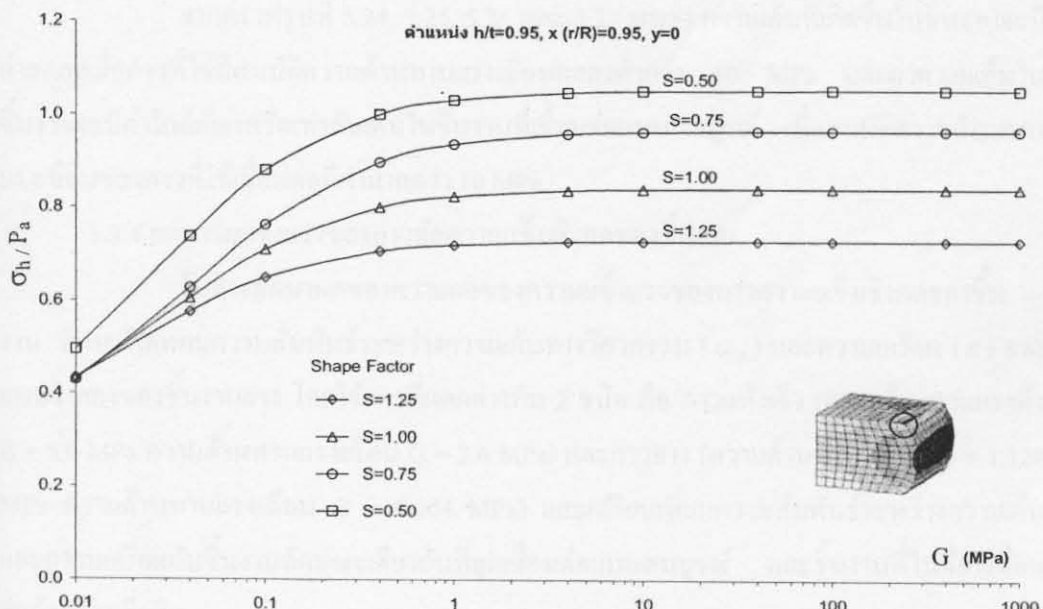
ในการศึกษาผลของความแข็งแรงของการต่อการกระจายความเค้นในเนื้อยางเมื่อชิ้นงานได้รับแรงกดผ่านแบบจำลอง โดยการสร้างแบบจำลองชิ้นงานขนาดต่างๆ (ตัวประกอบรูปทรง = 0.5, 0.75, 1.0 และ 1.25) ที่มีการเรื่อนต่อด้วยชิ้นกาวความหนาคงที่ 0.1 mm และเปลี่ยนสมบัติค่าความต้านทานแรงเฉือนของกา (G) 0.01, 0.04, 0.1, 0.4, 1, 4, 10, 40, 100, 400 และ 1000 MPa โดยมีค่าความต้านทานแรงดึง (E) คงที่ 5 MPa (ค่าความต้านทานแรงดึงของกาไม่มีผลต่อการกระจายความเค้นในเนื้อยางเมื่อชิ้นงานได้รับแรงกด) ทำการจำลองสถานการณ์ โดยจำลองแรงกดคงที่ 1.0 MPa และทำการเปรียบเทียบค่าอัตราส่วนระหว่างความเค้นอุทกสติกับแรงดันที่กระทำของชิ้นยางบริเวณที่มีค่าความเค้นสูง



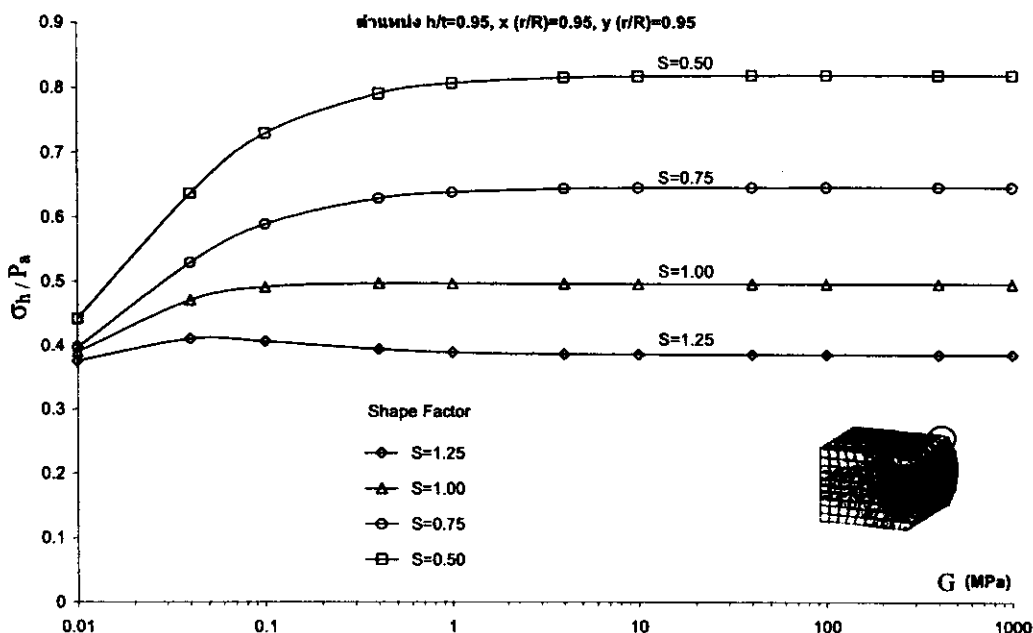
รูปที่ 5.24 แสดงความสัมพันธ์ระหว่างค่า σ_h / P_a ในเนื้อยาง ที่ค่าหนา $h/t = 0.96$, $x/(r/R) = 0.05$, $y = 0$ กับค่าความต้านทานแรงเฉือนของกา



รูปที่ 5.25 แสดงความสัมพันธ์ระหว่างค่า σ_h / P_a ในเนื้อยางที่คำหน่ง $h/t = 0.96$, $x(r/R) = 0.45$, $y = 0$ กับค่าความต้านทานแรงเฉือนของยาง



รูปที่ 5.26 แสดงความสัมพันธ์ระหว่างค่า σ_h / P_a ในเนื้อยางที่คำหน่ง $h/t = 0.96$, $x(r/R) = 0.95$, $y = 0$ กับค่าความต้านทานแรงเฉือนของยาง

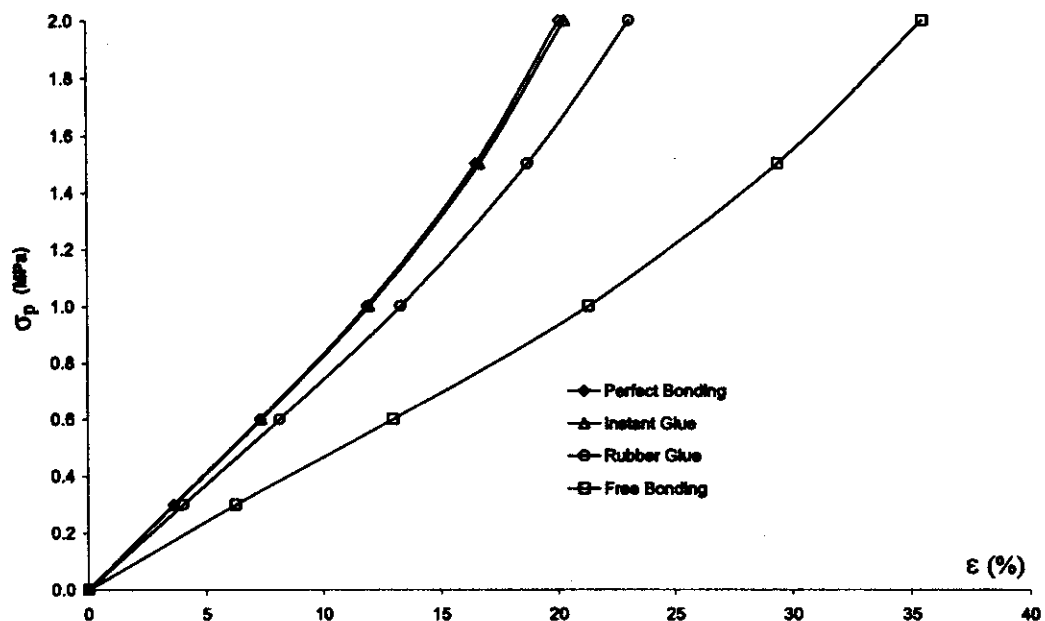


รูปที่ 5.27 แสดงความสัมพันธ์ระหว่างค่า σ_h / P_a ในเนื้อยางที่ ตำแหน่ง $h/t = 0.96$, $x (r/R) = 0.95$, $y (r/R) = 0.95$ กับความด้านทานแรงเฉือนของยาง

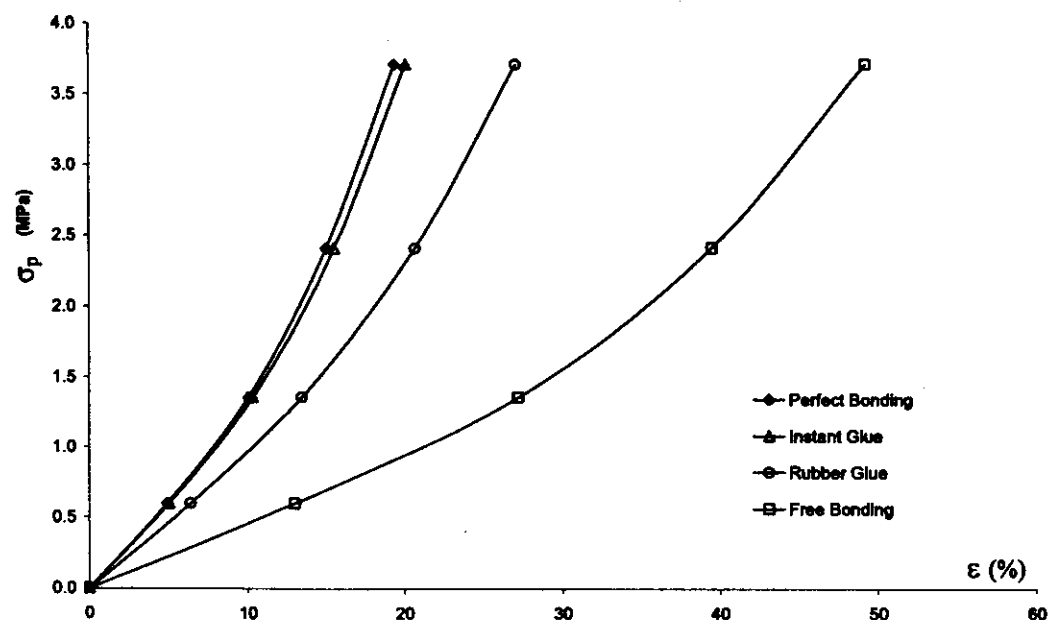
จากราฟรูปที่ 5.24, 5.25, 5.26 และ 5.27 พบว่า ความเด็นที่เกิดขึ้นในชิ้นงานจะมีค่าลดลงเมื่อการที่ใช้มีสมบัติความด้านทานแรงเฉือนลดลงต่ำกว่า 10 MPa และค่าความเด็นในชิ้นงานจะมีค่าใกล้เคียงหรือเท่ากันเด่นในชิ้นงานที่เชื่อมต่อแบบสมบูรณ์ เมื่อสมบัติความด้านทานแรงเฉือนของยางที่ใช้เชื่อมต่อ มีค่ามากกว่า 10 MPa

5.3.4 ผลความแข็งแรงของยางต่อความแข็งเชิงกลของชิ้นงาน

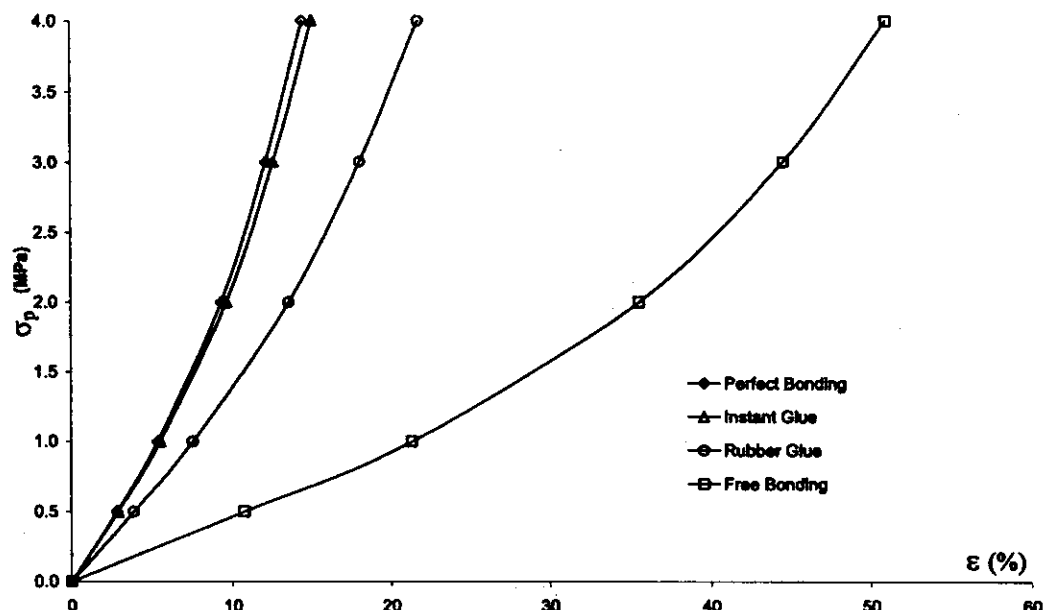
ในการศึกษาผลของความผลของความแข็งแรงของยางความแข็งเชิงกลของชิ้นงาน ศึกษาในเรื่องความสัมพันธ์ระหว่างความเด็นทางวิศวกรรม (σ_p) และความเครียด (ε) จากแบบจำลองของชิ้นงานยาง โดยใช้การที่แตกต่างกัน 2 ชนิด คือ การแห้งเร็ว (ความด้านทานแรงดึง $E = 5.8 \text{ MPa}$ ความด้านทานแรงเฉือน $G = 2.6 \text{ MPa}$) และการยาน (ความด้านทานแรงดึง $E = 1.128 \text{ MPa}$ ความด้านทานแรงเฉือน $G = 0.154 \text{ MPa}$) และเปรียบเทียบความสัมพันธ์ระหว่างความเด็นและความเครียดกับชิ้นงานลักษณะเดียวกันที่ถูกเชื่อมต่อแบบสมบูรณ์ และชิ้นงานที่ไม่มีการเชื่อมต่อคือวัสดุศรีษะติด



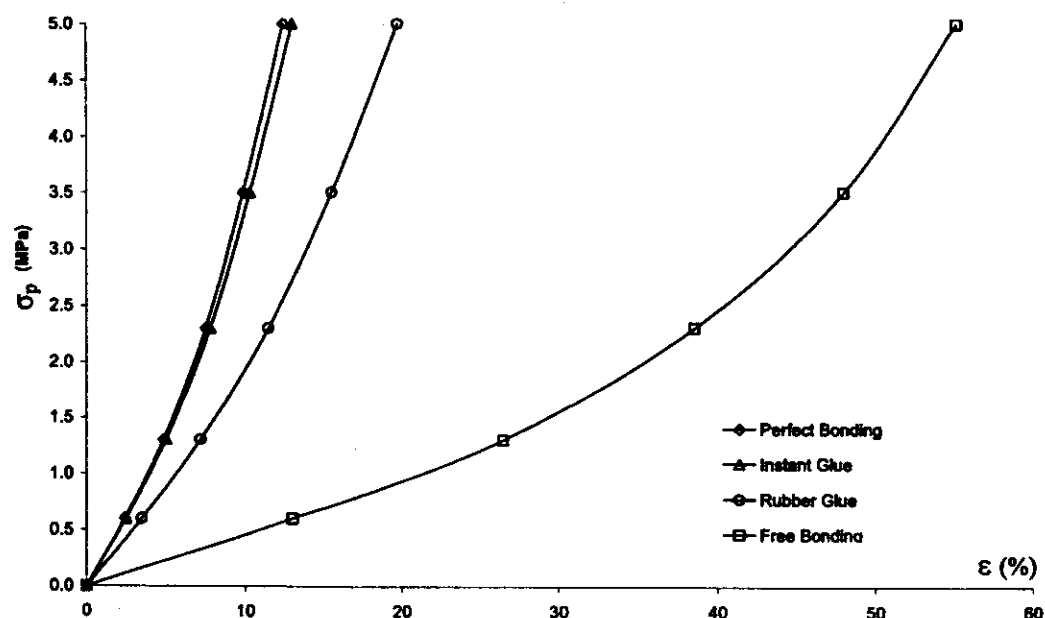
รูปที่ 5.28 แสดงความสัมพันธ์ระหว่างความตื้นและความเครียดของชิ้นงานขนาด ความกว้าง ยาว 40 mm หนา 20 mm ตัวประกันบูรณากร 0.5



รูปที่ 5.29 แสดงความสัมพันธ์ระหว่างความตื้นและความเครียดของชิ้นงานขนาด ความกว้าง ยาว 30 mm หนา 10 mm ตัวประกันบูรณากร 0.75



รูปที่ 5.30 แสดงความสัมพันธ์ระหว่างความต้านทานและความเครียดของชิ้นงานขนาด ความกว้าง ยาว 40 mm หนา 10 mm ตัวประกอบบูรณากร 1.0



รูปที่ 5.31 แสดงความสัมพันธ์ระหว่างความต้านทานและความเครียดของชิ้นงานขนาด ความกว้าง ยาว 50 mm หนา 10 mm ตัวประกอบบูรณากร 1.25

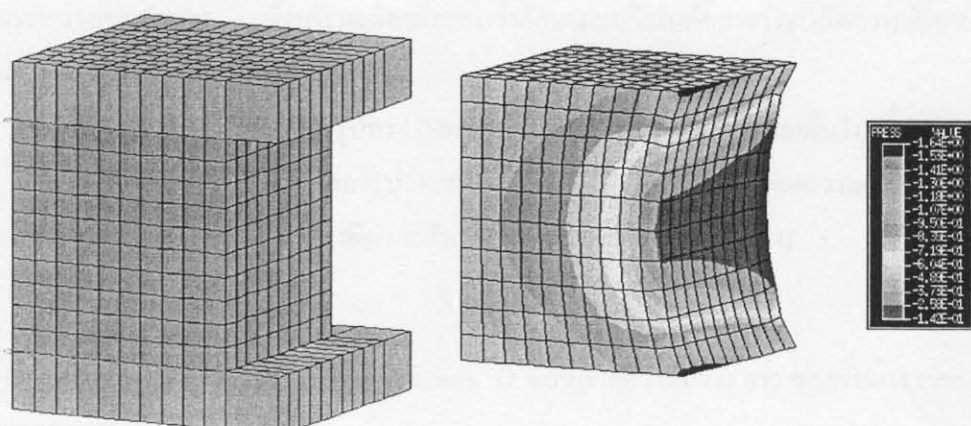
จากการฟูรูป ที่ 5.28, 5.29, 5.30 และ 5.31 พิจารณาค่าความก dein ที่เกิดขึ้นที่ค่าความเครียดเดียวกัน พบว่าชิ้นงานที่มีคิดแบบสมบูรณ์มีค่าความก dein สูงสุด ลำดับถัดมาเป็นชิ้นงานที่มีคิดด้วยการแห้งเร็ว การย่าง และชิ้นงานที่ไม่มีการยัดติดมีค่าความก dein ต่ำสุด และจากการฟูรูป พบว่าชิ้นงานที่เชื่อมต่อด้วยการจะทำให้ความแข็งของยางที่ความเครียดได้ลดลง เมื่อเทียบกับความแข็งของยางที่เชื่อมต่อแบบสมบูรณ์ที่ความเครียดเดียวกัน และชิ้นงานที่เชื่อต่อด้วยการที่มีความแข็งแรงสูง จะมีความแข็งของยางสูงกว่าชิ้นงานที่เชื่อต่อด้วยการที่มีความแข็งแรงต่ำ

5.4 ผลการศึกษาการกระจายความก dein ในชิ้นงานยางแผ่นสีเหลี่ยมเมื่อรับแรงดึง

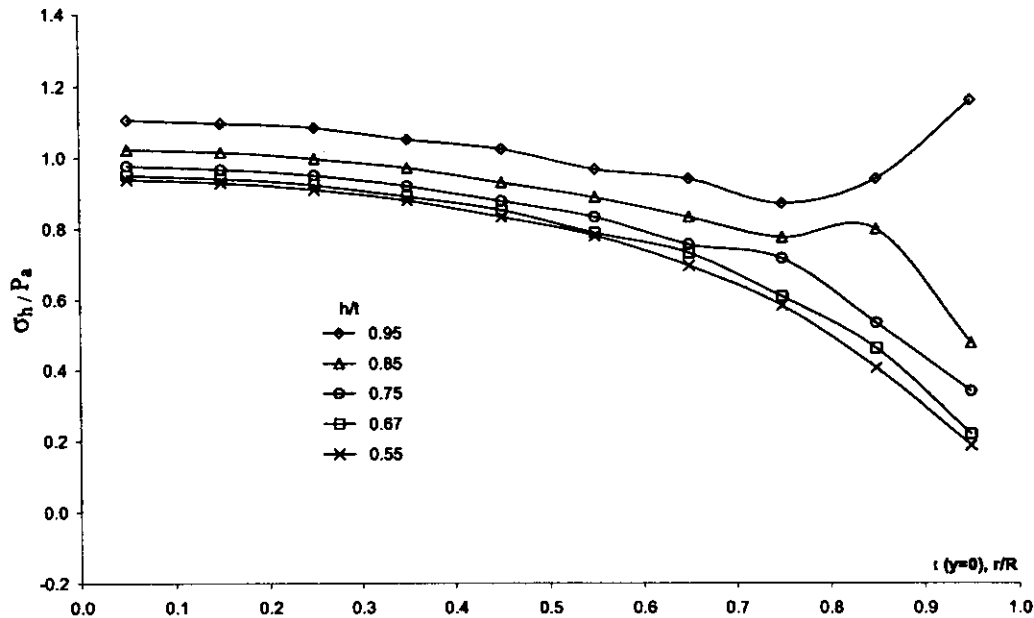
5.4.1 ลักษณะโดยทั่วไปของการกระจายความก dein ในชิ้นยางแผ่นสีเหลี่ยม

ในการศึกษากลักษณะทั่วไปของการกระจายความก dein ในชิ้นงานยางแผ่นสีเหลี่ยม เมื่อรับแรงดึง โดยการสร้างแบบจำลองชิ้นงานขนาดความกว้าง ยาว 40×40 mm ความหนาเนื้อยาง 20 mm มีค่าตัวประจุอนุรูปทรงท่ากับ 0.5 เชื่อมต่อระหว่างยางและโลหะด้วยการแห้งเร็ว ความหนาชั้นกาว 0.1 mm รับแรงดึงคงที่ 0.73 MPa มีค่าความเครียดดึง (Compression Strain) 10% สามารถจำลองลักษณะการกระจายความก dein ในรูปของ ความก dein อุทกสอดในเนื้อยาง ได้ดังรูปที่ 5.32

จากรูปที่ 5.32 พบว่าการกระจายของความก dein อุทกสอดในเนื้อยางมีค่าสูงสุด บริเวณรอยต่อระหว่างเนื้อยางและแผ่นโลหะ และจะลดลงตามที่ค่าบริเวณตรงกลางของเนื้อยาง และสามารถแสดงผลบนกราฟสองแกนดังรูปที่ 5.33



รูปที่ 5.32 ตัวอย่างลักษณะการกระจายความก dein ในเนื้อยาง



รูปที่ 5.33 แสดงลักษณะการกระจายค่า σ_h / P_y ตามแนวแกน x ($y=0$) เมื่อขึ้นชั้นหางรับแรงดึง

จากกราฟรูปที่ 5.34 พนว่าอัตราส่วนระหว่างความเค้นอุทกสถิติกับแรงดันที่กระทำจะมีค่าสูงบริเวณใกล้ร่องต่อระหว่างกาวหาง หรือความหนา $b/t = 0.958$ (ใกล้ 1) และเปรียบเทียบในแนวแกน x ($y = 0$) พนว่าอัตราส่วนระหว่างความเค้นอุทกสถิติกับแรงดันที่กระทำจะมีค่าสูงบริเวณใกล้จุดศูนย์กลางชั้นหาง หรือตำแหน่งในแนวแกน x, $x/X = 0.05$ (ใกล้ 0) และจากกราฟพบว่าอัตราส่วนระหว่างความเค้นอุทกสถิติต่อแรงดันที่กระทำจะมีค่าสูงบริเวณขอบของร่องต่อระหว่างกาวหาง ซึ่งบริเวณดังกล่าวพบว่าลักษณะเปลี่ยนตัวของหางจะเกิดการเปลี่ยนแปลงรูปร่างมากที่สุด เมื่อขึ้นชั้นหางได้รับแรงดึง

5.4.2 ผลของตัวประกอบรูปทรง (Shape Factor) ต่อการกระจายความเค้นในเนื้อยาง

ในการศึกษาผลของรูปร่างของชั้นหางของชั้นหางต่อการกระจายของความเค้น จะศึกษาในเทอมของตัวประกอบรูปทรงซึ่งมีความสัมพันธ์กับรูปร่างชั้นหางดังสมการ

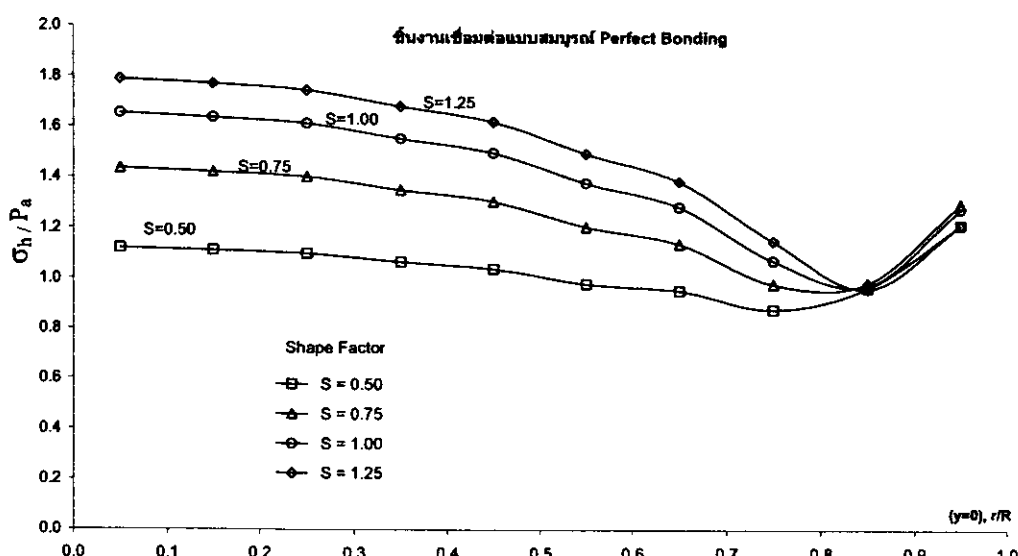
$$S = \frac{D}{4t} \quad (5.6)$$

เมื่อ S คือ ตัวประกอบรูปทรง (Shape Factor), D คือขนาดความกว้าง ยาว ของชั้นหาง และ t คือความหนาของชั้นหาง

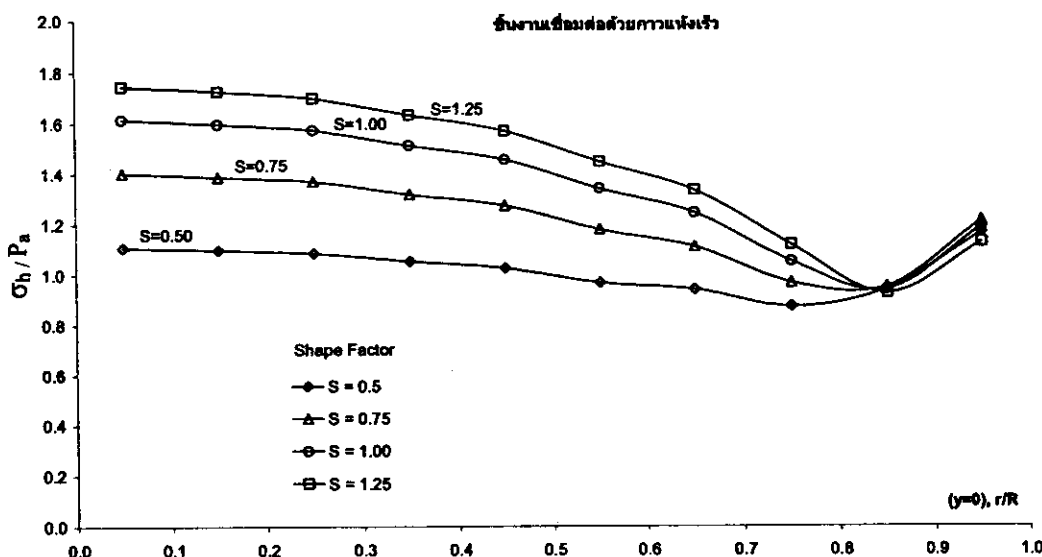
โดยทำการจำลองแบบชิ้นงานที่มีค่าตัวประกอบรูปทรงต่างกันคือ ตัวประกอบรูปทรง 0.5 มีความกว้าง ยาว 40 mm หนา 20 mm, ตัวประกอบรูปทรง 0.75 มีความกว้าง ยาว 30 mm หนา 10 mm ตัวประกอบรูปทรง 1.0 มีความกว้าง ยาว 40 mm หนา 10 mm และตัวประกอบรูปทรง 1.25 มีความกว้าง ยาว 50 mm หนา 10 mm ตามลำดับ และในแต่ละขนาด จำลองให้มีการเชื่อมต่อระหว่างยางและโลหะ 2 แบบคือ แบบสมบูรณ์และแบบใช้การแห้งเร็ว และจำลองสถานการณ์ให้แบบจำลองรับแรงดึงคงที่ชนชิ้นงานมีความเครียดแรงกด 10% และได้ผลการจำลองสถานการณ์ดังนี้

กราฟรูปที่ 5.34 แสดงผลของอัตราส่วนระหว่างความเค้นอุทกสถิติกับแรงดันที่กระทำในเนื้อยาง ของชิ้นงานขนาดตัวประกอบรูปทรง 0.5, 0.75, 1.0 และ 1.25 ยึดติดชิ้นยางกับแผ่นโลหะแบบสมบูรณ์ รับแรงดึงคงที่ชนมีความเครียด 10% โดยมีแรงดันที่กระทำเท่ากับ 0.75 MPa, 1.11 MPa, 1.68 MPa และ 2.53 MPa ตามลำดับ

กราฟรูปที่ 5.35 แสดงผลของอัตราส่วนระหว่างความเค้นอุทกสถิติกับแรงดันที่กระทำในเนื้อยาง ของชิ้นงานขนาดตัวประกอบรูปทรง 0.5, 0.75, 1.0 และ 1.25 ยึดติดชิ้นยางกับแผ่นโลหะด้วยการแห้งเร็ว ความหนาชั้นกาว 0.1 mm ความนิ่วความต้านทานแรงดึง $E = 5.8$ MPa ความต้านทานแรงเฉือน $G = 2.6$ MPa รับแรงกดชนชิ้นงานมีความเครียด 10% โดยมีค่าแรงดันที่กระทำเท่ากับ 0.73 MPa, 1.04 MPa, 1.51 MPa และ 2.17 MPa ตามลำดับ



รูปที่ 5.34 แสดงลักษณะการกระจายค่า σ_h / P_a ตามแนว แกน x ($y=0$) ของชิ้นยาง ที่ทำแห้งความหนา $h/t = 0.96$ ของชิ้นงานที่เชื่อมต่อแบบสมบูรณ์



รูปที่ 5.35 แสดงลักษณะการกระจายค่า σ_h / P_a ตามแนวแกน x ($y=0$) ของชิ้นงานที่ต่ำแห่งความหนา $b/t = 0.96$ ของชิ้นงานที่เข้มต่อด้วยการแห้งรีว

จากการฟูรุปที่ 5.34 และ 5.35 ซึ่งแสดงลักษณะการกระจายของอัตราส่วนระหว่างความเห็นอกสอดกับแรงดันที่กระทำในแน็งบาน ตามแนวแกน x ($y=0$) ของชิ้นงานที่มีค่าตัวประกอบบูรุปทรงต่างๆ กันพบว่า ชิ้นงานที่ค่าตัวประกอบบูรุปทรงสูง หรือมีพื้นที่ร่องต่อระหว่างการและย่างมาก หรือมีความหนาของย่างน้อย จะมีค่าอัตราส่วนระหว่างความเห็นอกสอดกับแรงดันที่กระทำสูงกว่าชิ้นงานที่มีค่าตัวประกอบบูรุปทรงต่ำ